

**Metropolia
Ammattikorkeakoulu**

Insinöörityö

Mikko Kiviahde

Metropolia Ammattikorkeakoulu
Elektroniikan koulutusohjelma

Mikko Kiviahde

Temput arvosteleva jojo

Insinöörityö 2.12.2008

Ohjaaja: yliopettaja Kari Vierinen
Ohjaava opettaja: yliopettaja Kari Vierinen

Tekijä Otsikko	Mikko Kiviahde Temput arvosteleva jojo
Sivumäärä Aika	64 sivua 2.12.2008
Koulutusohjelma	elektroniikan koulutusohjelma
Tutkinto	insinööri (AMK)
Ohjaaja Ohjaava opettaja	Yliopettaja Kari Vierinen Yliopettaja Kari vierinen

Insinöörityön aihe oli "temput arvosteleva jojo".

Jojo olisi ollut jojon, kiihtyvyysanturin, mikrokontrollerin sekä näytön sulautettu järjestelmä, joka olisi toiminut prototyppinä haastavalle lelulle.

Toiminnan testaus jäi koekytentälevyasteelle.

Olennaiset tulokset idean toimivuudesta käytännössä jäivät saavuttamatta temppujen datan puutteeseen.

Author Title	Mikko Kiviahde Yo-yo that rates tricks
Number of Pages Date	64 2. December 2008
Degree Programme	degree programme in electronics
Degree	Bachelor of Engineering in electronics
Instructor Supervisor	Kari Vierinen Principal Lecturer Kari Vierinen Principal Lecturer
The final thesis was an attempt to make a fully working prototype based on an own prized idea. The goal was not reached, but a lot was learned and noticed during the process.	
The subject of the thesis was a yoyo that rates tricks.	
The yoyo would have been an independent system consisting of a yoyo, an accelerometer, a micro-controller and a result-screen.	
The functional testing was done only on a test board.	
Keywords	product idea, yo-yo, accelerometer, microcontroller

1 Johdanto

Insinöörityö on teoreettisen malli-idean prototyypin rakennus-, testaus- ja arviontihanke. Tavoitteena oli rakentaa toimiva prototyppi ja testata idean toimivuus käytännössä.

Työssä lähdetään liikkeelle VTI Technologies Oy:n ja Teknologiateollisuus r.y.:n järjestämässä ideakilpailussa palkitusta teoriaideasta ja kinesteettisestä pelituotteesta "Temput arvosteleva jojo". Pelituotteessa arvostellaan jojolla tehdyн tempun onnistuminen käyttämällä anturilla mitattua kiihtyvyyttä sekä ehkä kallistusta.

Prototyypin toiminta suunniteltiin tuoteidean mukaan ja määriteltiin komponenttitarve ja rakenteluun tarvittavat muut osat. Avainkomponentteihin, kuten kiihtyvyysanturin toimintaan perehdyttiin syvällisemmin. Tämän jälkeen suunniteltiin piirilevy. Valmis piirikortti sekä jojo kokonaisuutena tasapainotetaan. Tehdään myös Faraday häkki, ts. metallinen kotelo systeemille ja tarkistetaan liikkuvien sähköisten varausten tuoma mahdollinen häiriö systeemin sisällä.

Rakentelun jälkeen ohjelmoitiin PIC-mikrokontrolleri toimimaan halutulla tavalla. PICin ohjelmoinnissa suurta mielenkiintoa kiinnitetään algoritmiin, jolla tehdyн tempun kiihtyvyksiä verrataan "täydellisen" tempun kiihtyvyksiin. Tämä on ratkaisevassa asemassa tuoteidean toimivuutta silmälläpitäen.

2 Ideasta prototyypiksi

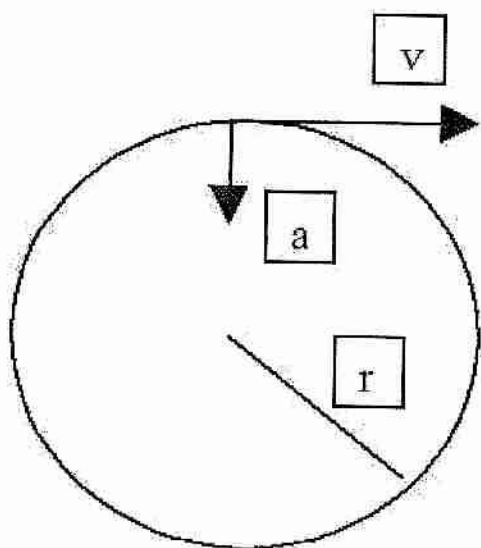
2.1 Ideakilpailu

Insinöörityö lähti liikkeelle VTI Technologies Oy:n ideakilpailussa palkitusta ideasta. Liitteessä 1 on artikkeli, joka kertoo kaiken oleellisen kinesteettisestä pelituoteideasta.

2.2 Idea

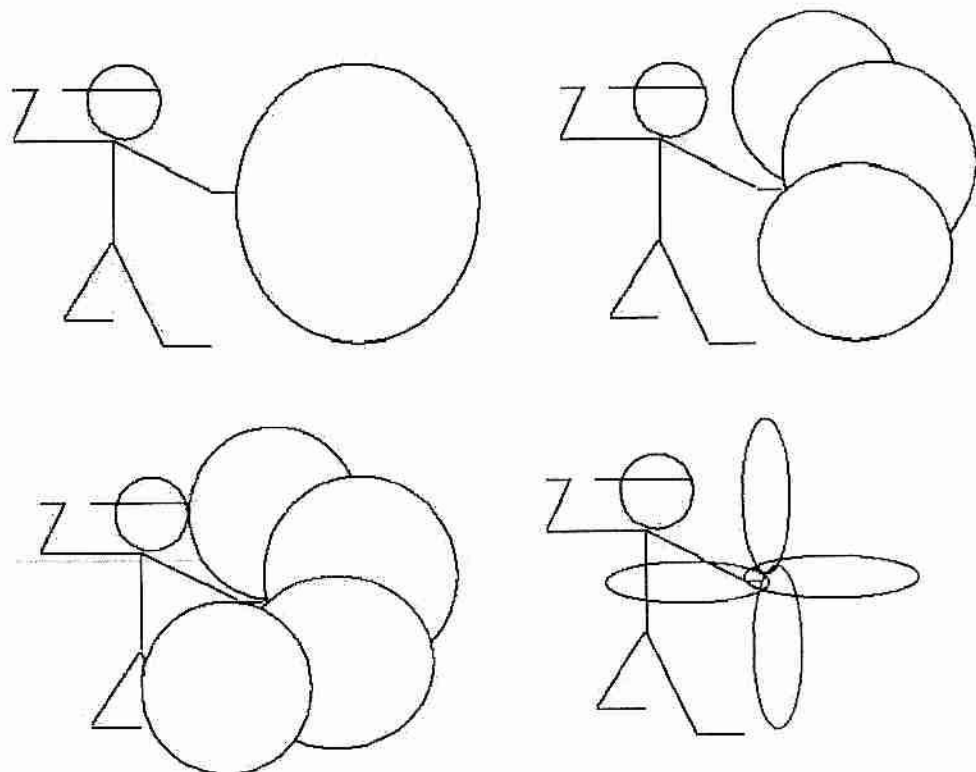
Temput arvosteleva jojo arvostelee jojolla tehdyн liikkeen mitattua kiihtyyvyyssanturin signaalia hyväksikäytäen. Jojon pyöriessä kiihtyyvyyssanturi mittaa keskihakuiskihihtyyttä ja kallistusta, jotka kertovat informaatiota liikkeestä ja antavat signaalin mikrokontrollerille, joka vertaa saatuja kiihtyyvyksiä algoritmilla ns. "täydellisen" tempun kiihtyyvyksiin ja pisteyttää sen. Lopuksi tulos luetaan näytöltä ja parhaasta jojoilijasta kilpailaan algoritmilla määritellyn pisteytyksen perusteella.

Kuvassa 1 on esitetty, miten keskihakuiskihihtyyys syntyy. Liikkueessaan kehällä määrätyllä nopeudella v kappale tuntee kiihtyyden a , joka tulee nopeuden neliöstä jaettuna kehän säteellä r . /1/ Kiihtyyvyyssanturin signaaliin vaikuttavat myös kallistus maan vetovoimakenttään nähdien sekä kenttä itsessään.



Kuva 1. Keskihakuiskiikhyvyys.

Vaativampia temppuja ovat esimerkiksi maapallo, kolmiapila, neliapila ja viuhka. Maapallossa jojolla tehdään yksi suuri silmukka. Kolmiapilassa tehdään kolme pienempää silmukkaa peräkkäin eri korkeuksilla. Neliapilassa tehdään neljä silmukkaa eri kohdissa. Viuhkassa tehdään neljä pienempää silmukkaa eri kohdissa määrätyssä järjestyksessä. Kuvassa 2 on esitetty kyseiset temput.



Kuva 2. Jojotemput maapallo, kolmiapila, neliapila ja viuhka. Ympyrät kuvaavat jojon liikeratoja.

Temppua kolmiapila tehtäessä jojon pyörimisnopeudet muuttuvat jojon kulkusuunnasta riippuen. Maan painovoimakenttä vetää jojota puoleensa, joten pyöriminen muuttuu eri tavalla jojon kulkissa alas päin kuin jojon kulkissa ylöspäin. Jojossa olevan kiihtyyvysanturin kehänopeus muuttuu ja kiihtyyvys sen neliönä. Näin mahdollistuu silmukoiden korkeuden erottelu toisistaan. Myös maan vetovoiman tuomaa heittelyä voi käyttää hyväksi. Jojon kallistus myös muuttaa signaalitasoja.

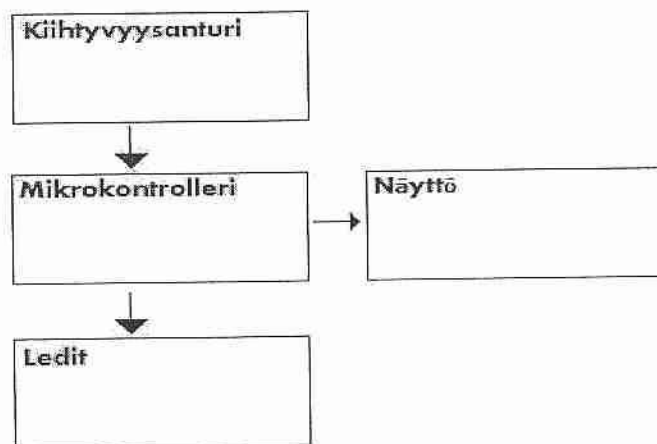
Muutosta tulee myös käden ohjauksesta, jolla jojolle annetaan vauhtia, kun se sitä tulee hakemaan.

Temppujen lisäksi jojolla voi kilpailla sen pyörimisnopeuden kanssa. Kuka saa jojon pyörimään nopeimmin? Entä kuka pystyy suorittamaan nopeimmin ”viiden aidan aitajuoksun”, jossa jojo käytetään alhaalla pyörimässä mahdollisimman nopeasti viisi kertaa ottamatta jojaa kiinni välissä? Tai kuka pystyy ”taluttamaan koiraa” pisimpään, kun jojon annetaan pyöriä maata vasten mahdollisimman kauan ja saada lopuksi vielä ylös?

Lisäksi jojossa olisi LEDejä, jotka vilkkuvat pyörimisnopeuden mukaan temppuja tehtäessä. Paikallaan pyöriessä LEDit voisivat muodostaa jonkin kuvion tai tekstin. Tällaisia kinesteettisiä pelituotteita on jo kaupallisesti saatavilla.

2.3 Prototyppisuunnitelma

Prototypistä on tarkoitus tulla sulautettu järjestelmä jojoon kiinnitettyä. Kuva 4 on yksinkertaistettu lohkokaavio tästä sulautetusta järjestelmästä.



Kuva 3. Sulautetun järjestelmän lohkokaavio.

Mikrokontrolleri toimii järjestelmän ”aivoina” ja ottaa vastaan jojon pyöriessä ja liikkuessa ohjaussignaaleja, joilla käyttäjä seuraa haluttua toimintoa tai temppua. Tämän jälkeen mikrokontrolleri ottaa vastaan tietoa kiihtyvyysanturilta jojon liikkeistä. Mikrokontrolleri kerää ja varastoi tästä dataa tempun keston ajan. Se myös vilkuttaa LED-lamppuja jojon pyöriessä. Tempun loputtua mikrokontrolleri laskee algoritmin mukaan pisteen tehdylle liikeradalle ja näyttää pisteen näytöllä. Mikrokontrolleriin voi myös tallentaa ns. mallisignaalitietokannan eri tempuille.

2.4 Työsuunnitelma

Ensimmäisenä vaiheena oli käyttötarkoitukseen sopivan temppujonon etsiminen ja hankkiminen. Joissa tulee olla tarpeeksi tilaa elektroniikalle, ja sen tulee olla riittävän massiivinen.

Seuraavaksi määritettiin komponenttitarve ja valittiin sopivat komponentit. Mikrokontrolleria valittaessa kriteerit olivat I/O-porttien lukumäärä, muistin koko, A/D-muunnin ominaisuuksineen sekä fyysinen koko. Kiihtyvyysanturin valintaan vaikuttavat mitattavien suuntien määrä ja tarvittava kiihtyvyysrajat. Näytön, kytkimien, LEDien, vastusten, kondensaattorien ja paristojen valintaan vaikuttavat lähinnä tekniset ominaisuudet ja fyysinen koko. Paristoissa otetaan huomioon tarvittava jännite ja virran kulutus. Kideoskillaattori valitaan tarvittavan systeeminopeuden mukaan.

Työ jatkui piirilevyn suunnittelulla ja rakentamisella. Piiri suunnitellaan PadsLogic-ohjelmalla, josta se siirretään PadsLayout-ohjelmaan piirilevyn tekemistä varten. /2/ Tämän jälkeen levy siirretään CircuitCAM-ohjelmaan, joka muokkaa levyn jyrsimistä varten. Lopuksi levy Boardmaster-ohjelmaan, joka ohjaa jyrshintä. /3/

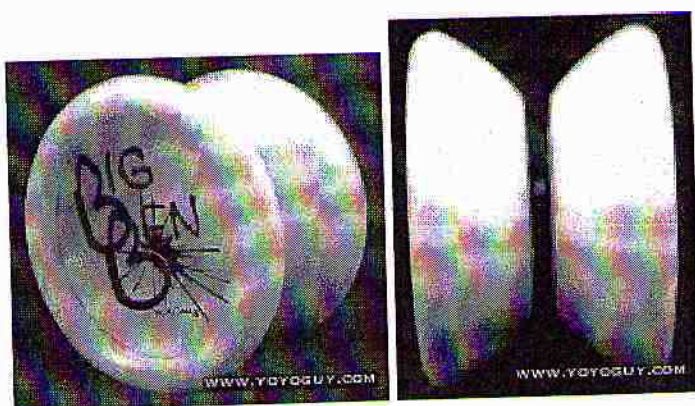
Suunnittelussa huomioon otetaan käytössä oleva tila ja tasapaino, joten komponentit pitää punnita ennen sijoittelua. Mikrokontrollerille tulee jalusta, jotta sen saa irti vaivattomasti uudelleenohjelmoimista varten. Paristoille katsotaan sopiva paikka vaihtoa varten.

Valmis piiri sekä jojo kokonaisuudessaan tasapainotetaan, ja jäljelle jää PICin ohjelmointi. Ensin ohjelmoidaan ns. "täydellisten" temppujen tiedonkeräysohjelma. Lopuksi lopullinen ohjelma algoritmeineen ja tietokantoiseen.

3 Työ

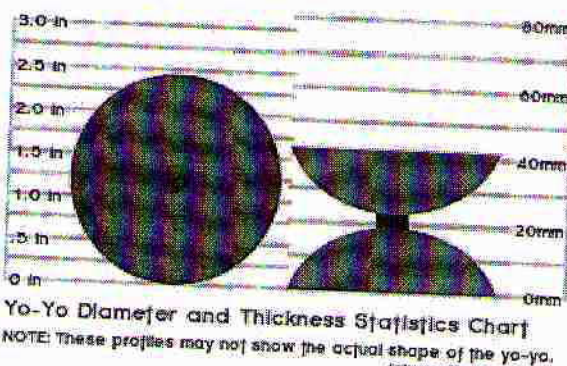
3.1 Komponenttien valinta

Tarkoitukseen sopiva jojo löytyi verkkokaupasta nimeltä Infinite Illusions Yo-Yos, Unicycles and Juggling Equipment. /7/ Kuvassa 4 on jojo ja kuvassa 5 dimensiot. Mitat on ilmoitettu millimetreinä ja tuumina.



Kuva 4. Tarkoitukseen sopiva jojo.

Big Ben by YoYoJam



Kuva 5. Jojon mitat.

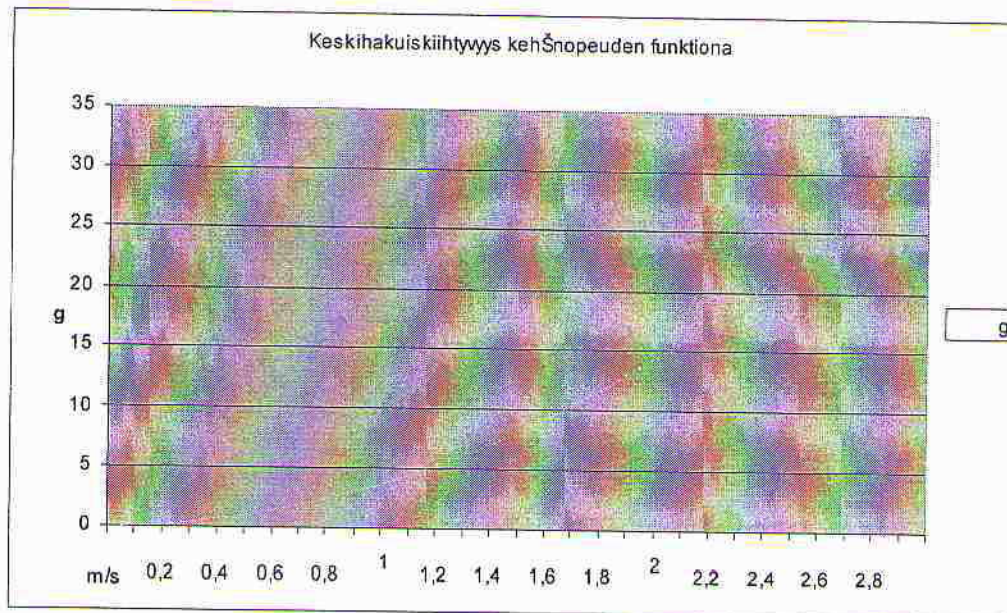
Mikrokontrolleriksi valikoitui PIC16F916 (liite 6). Taulukossa 1 näkyy tärkeimmät ominaisuudet. I/O-portteja on 24, sekä eri muisteja (14K/352T/256T) lienee tarpeeksi suunnitteluihin toimintoihin. A/D-muunnin löytyy 10-bittisenä. Fyysiset mitat ovat juuri sallituissa rajoissa: elektronikalle varattun tilan halkaisija on n. 4,5 cm ja PICin pituus on 3,5 cm (liite 37).

Taulukko 1. PICin ominaisuudet.

Device	Program Memory		Data Memory		I/O	10-bit A/D (ch)	LCD (segment drivers)	CCP	Timers 8/16-bit
	Flash (words/bytes)	SRAM (bytes)	EEPROM (bytes)						
PIC16F913	4K/7K	256	256	24	5	16 ⁽¹⁾	1	2/1	
PIC16F914	4K/7K	256	256	35	8	24	2	2/1	
PIC16F916	8K/14K	352	256	24	5	16 ⁽¹⁾	1	2/1	
PIC16F917	8K/14K	352	256	35	8	24	2	2/1	
PIC16F946	8K/14K	336	256	53	8	42	2	2/1	

Note 1: COM3 and SEG15 share the same physical pin on the PIC16F913/916, therefore SEG15 is not available when using 1/4 multiplex displays.

Kiihtyyysanturiksi valittiin VTI Technologies Oy:n SCA620-CHCV1A 12 g:n anturi. (Liitteet 13 ja 14.) Kuvassa 6 on keskihakuiski kiihtyyys kehänopeuden funktiona. Kehän säteenä käytettiin 3,0 cm:ä ja kiihtyyys ilmoitetaan yksiköissä $g = 9,81 \text{ m/s}^2$. Kuvaajasta ilmenee, että 12 g:n skaala riittää, mikäli kehänopeus jää alle 1,8 m/s.



Kuva 6. Keskihakuiskihiityyden kasvu kehänopeuden funktiona. 1 g vastaa $9,81 \text{ m/s}^2$.

Jos skaala ei riitä, asetetaan anturi sopivassa kulmassa mittaussuuntaan nähdien, jolloin kiihtyvyydeksi saadaan $a = v^2/r \cdot \cos(\alpha)$. Näin tehtäessä kuvaajasta tulisi loivempi.

Näytöksi tulee kaksi 7-segmenttinäytöötä. Segmentit ovat nolla-aktiivisia, joten PICin maanastan 90 mA:n rajan kanssa tulee olla tarkkana laboratoriossa. (Muuten paristot antavat mitä antavat ulos virtana.)

Kytkimiä ei tule ollenkaan. Kontrollointi hallitaan kallistelemallta. Kidettä ei tarvita erikseen, koska PICissä on sisäinen oskillaattori. Suodatinkondensaattoria ei laitettu kiihtyvyyssanturin viereen. Sarjavastukset eivät mahtuneet, joten 7-segmenttinäytöille tuli yksi yhteinen vastus ja kahdelle LEDille yksi yhteinen vastus. Näin tehot puolittuvat ja jakautuvat tasaisemmin, kun enemmän LED-valoja alkaa loistaa samaan

aikaan. Tehot jakautuvat tyyliin kokonainen, puolikas, kolmasosa per segmentti/LED jne.

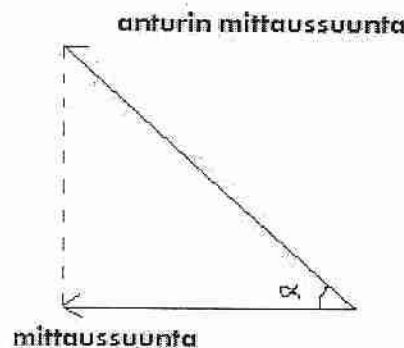
Paristot sijoitetaan piirilevyn alle niin, ettei keskinäinen tasapaino häiriinny, joko toiselle levylle tai jojoon kiinni.

Tekemistä varten koneelle asennettiin ilmainen MPLAB v8.00 /8/ ja hankittiin ohjelmointilaite sekä PICit.

3.2 Kokeilu koekytatkentälevyllä

Suunnitelmasta poiketen ennen piirilevyn tekemistä kokonaisuus testattiin koekytatkentälevyllä. Tässä vaiheessa suunniteltuihin komponenttivalintoihin tuli muutoksia.

Koekytatkentälevyllä ei pystytty testaamaan kiihtyvyysanturin skaalan riittävyyttä. Siinä vaiheessa kuitenkin tuli idea anturin kallistamisesta jolloin 45° kulmassa mittaussuuntaan nähdien anturiin saa n. 17 g:n skaalan. Kuvassa 7 on mittaussuunta keskipisteeseen ja anturin mittaussuunta avaruuskulmassa samassa suunnassa kuin keskipiste.

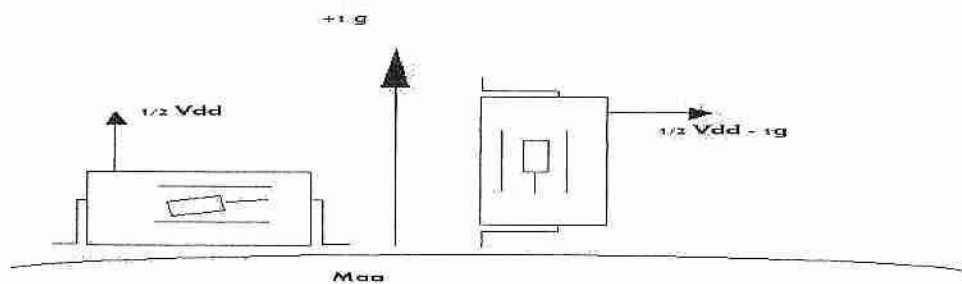


Kuva 7. Mittaussuunnat.

Anturin nollakohdan ns. offset-tason määritys suoritettiin seuraavaksi.

Koekytkentälevyllä ”väärin näyttävällä” vatupassilla ihmotellessä kului tovi miettiessä, missä vika. Epäilyksen alaiseksi joutuivat anturin toimivuus, kytkentä, kuormakondensaattoriin latautuminen sekä muut ulostulot.

Asia ratkesi, kun tuli mitattua toinenkin samanlainen anturi eivätkä tulokset muuttuneet. Anturin teknisestä dokumentista (liite 13.) kävi ilmi, että zeropoint eli puolet käyttöjännitteestä sijaitsee 1 g:n kohdalla positiiviseen suuntaan. Tuntui



Kuva 8. Zeropoint kohdassa, jossa seisminen massa kallellaan.

järjenvastaiselta että zeropoint on jossakin muualla kuin nollassa. Kuvassa 8 näkyvät anturin positiiviset mittaussuunnat, maan vetovoiman aiheuttava kiihtyvyys sen kanssa paikallaan olevaan sekä anturin antama tulos positiivisessa suunnassa. Seismiset massat jousen varassa anturin sisällä kuvastavat anturin toimintaa.

Ennen tätä vaihetta piti tietenkin jo perehtyä PICin ohjelmoimiseen. Testiohjelmia tuli testattua useita. Kuvassa 10 on Tilanvaihto ja datan kirjoitus EEPROMiin käynnissä. Tätä ennen piti tutustua rekisterien, muistien, oskillaattorin, porttien ja A/D-muuntajan saloihin. Myös järjellinen tulos porteissa, jotka näkyvät segmenteillä, oli suotavaa. "Homman" toimiessa jotenkin siirryttiin puuhalemaan piirilevyn suunnittelun kanssa. Liitteissä 15-37 on tarvittava informaatio tähän.



Kuva 9. "Homma" toimi jotenkin.

3.3 Piirilevy

Ensin piirikaavio suunniteltiin Padsilla, jossa osan komponenteista joutui muokkaamaan itse. Liitteestä 12 voi hahmotella piirikaavion.

Padsista siirryttiin Pads layoutiin, jossa suunniteltiin piirilevy ja laitettiin komponentit kohdilleen. Samaisessa ohjelmassa myös reititettiin kytkennät. Segmenttien kytkentöihin tuli pieniä muutoksia, jotta sai vedot vietyä perille mahdollisimman kivuttomasti.

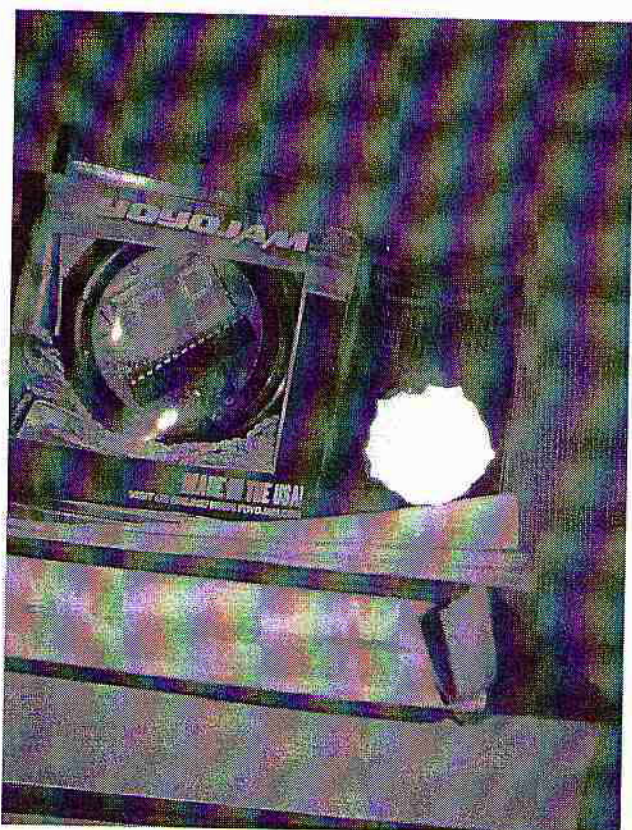
Segmenttien järjestyksellä ei ole niin väliä, kunhan muistaa koodissa muuntaa tuloksen ymmärrettävään muotoon. Muutamia läpivientejä tuli piirilevyn. Muuten suunnittelussa ainoana prioriteettina oli ”järkevä sijoittelu” pieneen alaan. Liitte 11. Kuvassa 10 piirilevy jojossa ennen komponentteja.



Kuva 10. Piirilevy jojossa.

4 Työn keskeytys

Alkuperäisistä tavoitteista tingittiin toteutusvaiheessa. Piirilevystä tuli liian hankala lopulliseen tuoteideaan, johtuen kaksipuolisudesta ja pienestä tilasta. Pienemmillä komponenteilla ja monikerrospiirilevyllä tuoteidea pystytään toteuttamaan.



Kuva 11. *Jojo paketissa.*

5 Pohdintaa

Ennen työn aloittamista laadittiin työsuunnitelma, sisältösuunnitelma ja aikataulusuunnitelma. Myös pienimuotoinen taustojen selvitys suoritettiin ja muutamia osumia löytyi internethaulla (syksy 2007), mutta ne eivät vastanneet kyseistä tuoteideaa.

Sisältösuunnitelma muuttui käytettyjen asioiden tärkeyden mukaan, ja tavoite oli kohdillaan, mikä mahdollisti eri mahdollisuksien jonkinasteisen pohdinnan kokonaisuuteen liittyen.

Työn aloitusvaiheessa tilattiin kaksi jojua. Toinen on kuvissa näkyvä muovinen ja toinen metallinen.

Sisäiset vedot pitäisi myös vetää koaksiaalisesti eli loppujen lopuksi systeemin tulisi olla yksi mikropiiri, jossa signaalit kulkisivat omia koaksiaalisia polkujaan paikasta toiseen ja ulos näkyisi vain valo tarvittaessa. Myös maadoitukseen ja suojaukseen olisi hyvä kiinnittää huomiota.

5.1 Taustaa

Idea jojosta, joka arvostelee tempuit, lähti miettimisellä, missä kiihtyvyysanturin signaalia voisi käyttää hyväksi. Heiluvia vimpaimia pyöri mielessä, kunnes mieleen juolahti ilmassa heiluva ja pyörivä temppujojo. Keskihakuisuus kiihtyvyydellä saisi vertikaaliset liikeradat selville maan vetovoimasta johtuen. Sijtä sitten muutaman mutkan kautta hahmottui, että tuoteidea sopisi lasten ja nuorten kilpailuviettiin ja toteutus tuntui mahdolliselta sekä ehkä kaupallisessa mielessä kannattavalta massatuotteelta.

5.2 Kiihtyvyys

Kun massan on hidasta eli kun se tarvitsee ulkoisen voiman liikkuakseen ja liikkuakseen jonkin, suhteen sen täytyy kiihtyä. Kiihyessään massa ei ole tasapainossa, vaan sen massakeskipiste on muualla kuin sen ”oikea” massakeskipiste. Massa joutuu liikkumaan eli kiihtymään niin, että sen massakeskipiste olisi taas oikeassa paikassa.

Näin siihen varastoituu energiaa: potentiaalienergiaa, jos on kiihtyvyys ilman kummankaan kohteen liikkumista, ja liike-energiaa, jos on kiihdytys havaittajan mielestä.

Pyörivässä liikkeessä massaan vaikuttaa koko ajan keskihakuiskiihtyvyys. Se ja sen vastavoima pitävät massan radallaan. Isossa pyörivässä massassa kiihtyvyys nousee kehänopeuden neliönä suhteessa säteeseen.

Nän syntyy maapallollekin oma panovoimakenttä, ja tällä gyroskoopit pysyvät suunnassaan vähän niin kuin jojo pyöriessään.

Jojossa anturi asetetaan mittaamaan keskihakuiskiihyvyyttä määrätyllä säteellä pyörimisen keskipisteestä. Maan vetovoima vaikuttaa jojon vertikaaliin liikkeisiin, jolloin pieni kappaleen pyörimisen muutokset ison kappaleen tuntumassa kertovat vertikaalisten ratojen muodoista.

5.3 Kiihyvyysanturi

Kiihyvyysanturin ydin on jousen tai jousiin kiinnitetty massa mikrokoossa. Massalla on pinta, joka muodostaa vastakkaisen pinnan kanssa kapasitanssin, ks. kuva 9.

Massan liike jousien varassa muuttaa kapasitanssia, joka vaikuttaa jännitteeseen, jolloin kiihyvyys voidaan lukea suoraan jännitteeenä. /4/

Tällainen sähkömikromekaaninen komponentti, kiihyvyysanturi, on valmistettu äärettömän tarkoissa olosuhteissa puhdastilassa, johtuen mikrokoosta ja siellä tapahtuvista ilmiöistä. /4/

Seismisen massan omaehtoinen värähtelyn soiminen saadaan kuriin tunkemalla kaasua sen ympärille. Tässä taas kaasun viskositeetti on avainroolissa. Myös massan muotoihin on kajottu, jotta anturielementin seismisen massan liike on saatu halutunlaiseksi. /4/

Massa ja jouset valmistetaan piistä samoin kuin itse anturin muutkin ydinosaat. Valmistus tapahtuu eri piiteknologian valmistusmenetelmin, ja lopuksi anturi koteloidaan ja liitetään ulkomaailmaan. Koteloiden hukkatalan voi myös täyttää digitaalisilla piireillä jolloin, analogisesta anturista tulee suoraan osa suurempaa digitaalista kokonaisuutta. Puolijohdeteknologian kehitys on johtanut myös

sähkömekaanisten laitteiden mm. antureiden pienentämiseen ja mahdollistavan niiden halvan massatuotannon. /4/

Kondensaattoreiden aikavakioiden kanssa saa olla tarkkana, kun väentää sovelluksia analogisen kiihtyvyysanturin kanssa. Mikäli kuorman kapasitanssi ja resistanssi (tässä tapauksessa R_{ss}) muodostaa suuremman aikavakion kuin anturin ulostulossa, niin "homma" menee pieleen.

Kyseisellä anturilla resistiivinen kuorma on minimissaan $20\text{ k}\Omega$ ja kapasitiivinen kuorma maksimissaan 20 nF . PICissä R_{ss} muuttuu jänniteen mukaan: $6\text{ V} \rightarrow 5\text{ k}\Omega$ ja lineaarisesti $2\text{ V} \rightarrow 11\text{ k}\Omega$ ($+R_{ic} \leq 1\text{ k}\Omega$). Myös kuorma kapasitanssi on pienempi 10 pF . Näin valitsemalla kokonaisuus toimii. (Liitteet 13 ja 30.)

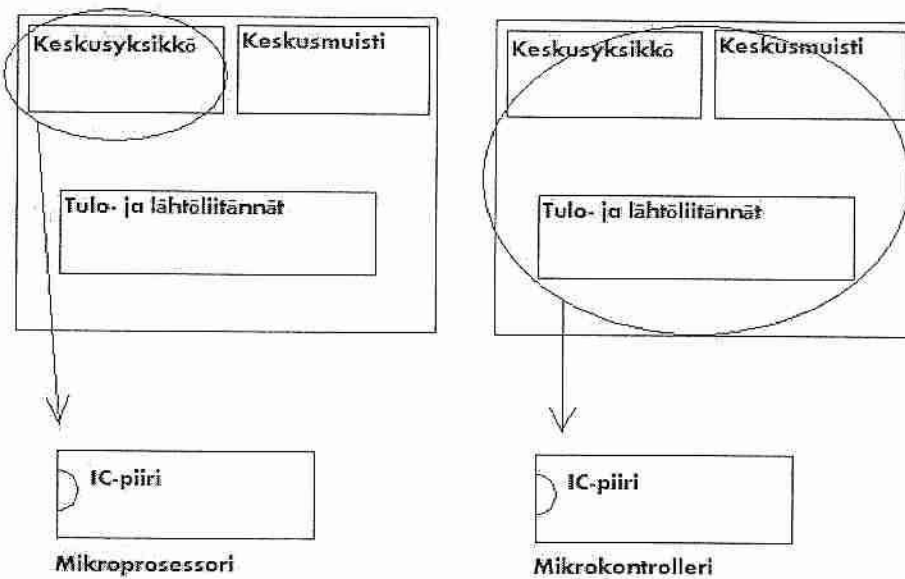
6 PIC: Peripheral Interface Controller

Mikroprosessori on yhdelle chipille eli piisirulle integroituna tietokone tai sen keskusyksikkö. Käyttäjä ei voi vaikuttaa mikroprosessorin sisäiseen rakenteeseen, joten käyttäjän on valittava saatavilla olevista paras mahdollinen omaan tarkoitukseensa. /5/

Mikroprosessoreita on hyvin monenlaisia, koska käyttökohteita on lukematona määrä ja käyttökohteiden tarpeet ovat ratkaisevia mikroprosessorin valinnassa. Eri valmistajien mikroprosessoreiden paremuus on usein katsojan silmässä. /5/

6.3 Ryhmittely

Yleiskäyttöiset mikroprosessorit muodostavat kaksi ryhmää. Ensimmäiseen ryhmään kuuluu varsinaiset mikroprosessorit eli pelkät keskusyksiköt. Toisen ryhmän muodostavat mikrokontrollerit eli mikro-ohjaimet eli yhden sirun tietokoneet. Kuvassa 13 nähdään, että mikrokontrollerit sisältävät kaikki tietokoneen pakolliset osat: keskusyksikön, keskusmuistia ja tulo- ja lähtöliitännät. /5/



Kuva 12. Mikroprosessori ja mikrokontrolleri eroineen. /5/

Mikroprosessoreita voi luokitella monella eri tavalla pakkaustavasta arkkitehtuuriin jne. Kokonaisuus ratkaisee valittavan prosessorin. Kyseisessä työssä ensikertalaisen valintaperusteiksi tuli tunnettavuus, käytettävyys, saatavuus sekä ominaisuudet. Tärkein asia oli valittu siis viimeiseksi.

6.2 Käytetyt ominaisuudet

Perusominaisuksien lisäksi käytettyjä olivat jo tekovaiheessa ilmitulleet rekisterit, muistit, oskillaattori, portit ja A/D-muuntaja.

Liitteistä 15-37 näkyy syyseuraussuhteita ominaisuuksien ja tarkoituksien välillä.

A/D-muuntajassa ulostuloa V_{ref} käytettiin käyttöjänniteenä, jolloin anturin nollatason jännite Vdd tippuu samassa suhteessa. Anturin datalehti ilmoitti käyttöjännitealueeksi 4,75 V -5,25 V, mutta laboratoriokokeiden yhteydessä ± 1 g:n vaihteluissa ei käyttöjännitteen vaihtelu aiheuttanut muutoksia. Vain PICin hyytyminen 2 voltissa lopetti toiminnan.

Jännitteen V_{ref} ollessa sama kuin Vdd A/D-muunnin muuntaa anturin jännitteen (puolel Vdd:stä) tulokseksi kymmeneksi bitiksi: 011111111. Tämä siis silloin, kun anturi tuntee $+1$ g:n kiihtyvyyden.

A/D-muuntimen tulos tulee kahteen rekisteriin. Rekisterit ovat kahdeksanbittisiä, joten täytyy, valita miten tuloksen haluaa. Rekisteri ADCON0:n seitsemäs bitti pitää asettaa nollaksi tai ykköseksi. Työssä valittiin bitiksi nolla, jolloin merkitsevimmät bitit tulevat ADRESH-rekisteriin. Tällöin tarkkuus tippuu, kun pois jää kaksi vähiten merkitsevä bittiä ja ensimmäinen bitti näyttää vain suunnan. Loppujen lopuksi merkitseviä bittejä jää vain seitsemän. Tämä tarkoittaa resoluutiota $2^{(7-1)} = 128$.

Näin ollen $12 \text{ g} / 128 = 0,094 \text{ g per steppi. } (\sim 0,9 \text{ m/s}^2 \text{ per steppi})$ Jos homma menee liian epätarkaksi, täytyy pienetkin bitit tällöin ottaa mukaan. Anturi antaa siis täyden jännitteen Vdd ulos, kun kiihtyvyys on tapissa $a = 12 \text{ g}$.

Epätarkkuuden kanssa pitää kuitenkin muistaa kehänopeuden neliö, jonka muuntelu kutistanee epätarkkuudet.

6.3 Rekisterit ja muistipaikat

Rekisterit ja muistipaikat ovat osoitteella osoitettuja muisteja. Rekisterit ovat erikoismuisteja määrätyille toiminnolle ja loput ovat muisteja muille muuttujille. Ohjelmamuistista (FLASH) ladataan kaikille paikoille halutut arvot (SRAMiin) ja jäljelle jääneet ovat oletustilassa. Ohjelman edetessä muistien (SRAM) tilat muuttuvat halutulla tavalla, jotta haluttu tulos saavutettaisiin.

Muistit ovat neljässä eri pankissa, joka pitää aina valita oikein, jotta oikea muistipaikka tulee käsitellyksi. Pankkia vaihdetaan STATUS-rekisteristä biteillä RP0 ja RP1, jotka ovat kaikissa pankeissa samoilla biteillä 5 ja 6.

EEPROM on erikseen omissa paikoissaan, ja sen kirjoittaminen ja lukeminenkin ovat erillisiä toimenpiteitä vaativia. Tätä muistilaatua oli ajatus käyttää datan keruuseen tempuista, sillä informaatiota ei silloin häviä jännitteen tipahtaaessa pois. Liite 33.

Rekisterit ovat muokattavissa, ja niissä näkyy kaikki tieto mikro-ohjaimen tapahtumista ja ne ohjaavat keskusyksikköä. Näin ollen jokaista käskyä koskevat rekisterit tulee tarkistaa muutosten ja tulevien muutosten varalta ennen kuin kirjoittaa käskyn. Jos käsky muuttaa ei haluttuja rekistereitä, palautetaan ne ennalleen seuraavalla käskyllä.

6.4 Oskillaattori

PICissä on sisäinen oskillaattori, jonka toiminta taajuus valitaan OSCCON-rekisteristä. Työssä koekytentälevyllä käytettiin matalinta taajuuutta: 31 kHz. Samaisesta rekisteristä löytyy myös systeemikellon määräysbitti sekä stabiliusbitit matalalle että korkeataajuudelle. (Liitteet 25-27.)

6.5 Portit

PICistä löytyy kolme kahdeksanbittistä I/O-porttirekisteriä: PORTA, PORTB ja PORTC. Näiden asetuksia hallinnoidaan TRISA-, TRISB- ja TRISC-rekistereistä käsin. Portit laitetaan joko sisääntuloiksi tai ulosmenoiksi. A-porttia koskee myös ANSEL-rekisteri, josta laitettiin Vref ja A/D-muuntajan sisääntulo analogiseksi.

6.6 Perustoiminnot

V (liitteessä 17) ALU on kaikkien aritmeettisloogisten toimintojen yksikkö. W-rekisteri on ALUn ensin käsiteltävä ja jälkeen tulosrekisteri käskystä riippuen. Tuloksen voi myös ohjata muualle. Myös tuloksen tekijöistä toisen täytyy olla aina ALUssa eli W-rekisterissä.

ALU on piisirulla vain erillinen läjä "transistoreita". Niiden toiminta vain on erilainen kuin muiden. Ne mekaanisesti päättävät ja ohjaavat eli toimivat keskusyksikkönä yksiköiden joukossa.

Status eli tilarekisteri ilmoittee ALUn toiminnasta. Jos jokin mennyt vikaan tai onnistunut, siitä tulee ilmoitus liputuksen kautta. Tilarekisteri on toiminnan kannalta tärkeä osa kokonaisuutta. ALUssa aritmeettisinä operaatioina pelkästään yhteen- ja vähenyslasku, jolloin liput liehuvat nollatuloksen, yli vuodon ja alivuodon yhteydessä. Kerto- ja jakolaskut saadaan määrätyllä tarkkuudella näillä ominaisuuksilla ja lippuja tarkkailemalla.

6.7 Käskykanta

PICiä olisi mahdollista ohjelmoida ”kehittyneemmälläkin” kielellä, mutta tässä työssä päädyttiin assembler-koodin kanssa työskentelyyn. Myös ymmärryksen kannalta on hyvä lähteä perustason kielellä liikkeelle.

Käskykanta sisältää vain 35 käskyä, jotka jakautuvat kolmeen tyyppiin: tavu- ja bittiorientoituneisiin käskyihin sekä välillisii kontrollikäskyihin. (Liitteet 34-35.) /6/

7 Algoritmi

Algoritmissa olisi ollut mielenkiinnon kohtena datojen yhteneväisyys eli toisinpäin erot. Erot olisi olleet aikariippumattomia, sillä vain muotojen erot riippumattomissa olosuhteissa olisivat taanneet tarpeeksi joustavan alustan arvioinnille.

Tähän olisi päästy vektorilaskennan työkalujen avulla ainakin teoreettisesti. Matemaattista tarkkaa mallia on erittäin vaikea toteuttaa anturisignaalien tuottaman informaation avulla. Toisaalta numeerisen malliliikkeen signaaleja vertaamalla tempun tekijän tuottamaan signaaliin on yksi tapa toteuttaa tuoteidea.

Lähdeluettelo

1. Mikko Hautala, Hannu Peltonen Insinöörin (AMK) fysiikka. Osa 1. 2003, s. 57.
2. <http://www.mentor.com/products/pcb/pads/> Luettu 26.11.08
3. <http://www.ipkf.com/products/rapid-pcb-prototyping/software/circuitcam-pcb/>
Luettu 26.11.08
4. Kari Vierinen: Fysiikan ja mikrosysteemitekniikan oppitunnit, EVTEK 2003-2006
5. Pekka Rantala: Mikrotietokonetekniikka 2001
6. Fischer, Matti. Luentomonisteet. EVTEK-ammattikorkeakoulu 2003-2006.
7. www.yoyoguy.com Luettu syksy 2007
8. <http://www.microchip.com> luettu 26.11.08

Heidi Hänen, Tekniikka ja Talous, 19.06.2006]

VTI:n Ideakilpailun voittivat kitaran efektilaite ja langaton kaukosäädintiiri

VTI Technologies Oy:n yhdessä Teknologiateollisuus ry:n kanssa järjestämän Ideakilpailun voittajat on valittu. Yliopistojen ja ammattikorkeakoulujen oppilaiden tehtävänä oli soveltaa VTI:n kiihtyyväysantureita uusiin käyttö- ja sovelluskohteisiin.

VTI jakoi kilpailussa sijoille 1.-3. rahapalkinnot ja Teknologiateollisuus ry palkitsi parhaan poikkitieteellisen ryhmätyön. Ideakilpailu järjestettiin jo neljättä kertaa.

Teoria- ja demon rakentamissarjoihin jaettuun kilpailuun otti osaa 23 ideaa. Tuomaristo kiinnitti erityistä huomiota ideoiden teoreettiseen vahvuuteen ja käytännöllisyyteen, kaupalliseen toteutettavuuteen sekä uutuusarvoon.

Kilpailun tuomaristoon kuuluivat vararehtori **Kalevi Ekman**/TKK, johtaja **Matti Kleimola**/Wärtsilä, toimitusjohtaja **Hannu Martola**/VTI, toimitusjohtaja **Martti Mäenpää**/Teknologiateollisuus ry, johtaja **Yrjö Neuvo**/Nokia ja koulutusyksikön johtaja **Heikki Saastamoinen**/JAMK.

Teoriasarjan palkitut

Teoriasarjan ensimmäisen palkinnon (1000 euroa) voitti **Marko Tienhaaran** (TAMK) työ **Twist, Turn 'n' Rock -sähkökitaran efektilaite**. Efektilaite kiinnitetään ulostuloon kitaran ja kaapelin väliin. Laite mahdollistaa muusikoiden vapaan liikkumisen lavalla, kun kitaristi ei ole enää sidottu efektipedaalinsa eteen. Kitaran ääntä voi muokata kolmen akselin varassa liikuttamalla soitinta.

Toisen palkinnon (750 euroa) saaneen **Kari Salmelan** (TAMK) työ esitteli Kiihtyyväysanturin käyttöä moottoripyörän hydraulisen 2-pyörävedon komponenttina. Mutkassa kiihdytettäessä moottoripyörän etupyörä sutii helposti. Älykäs säätöjärjestelmä luovuttaisi etupyörälle tehoa vähemmän, jos pyörää on kallistettu.

Kolmanteen sijaan (500 euroa) ylsi **Mikko Kiviahteen** (EVTEK) Temput arvosteleva jojo. Mikrokontrolleri arvostelee jojotempun jojon pyörimisnopeuden ja heittosuunnan avulla.

Demosarjan palkitut

Demosarjan ensimmäinen palkinto (1000 euroa) meni **Tero Kontkaselle** ja **Timo Piironelle** (TTY), työnään Langaton kaukosäädintiiri kiihtyyväysantureilla. Kaukosäädintä liikuttamalla ja nappeja painamalla voi käyttää tietokonetta.

Toiseksi (750 euroa) tuli **Anssi Kämärin** (Lappeenrannan Teknillinen yliopisto) Kiihtyyväysanturi kuntosaliharjoittelussa ja kuntoutuksessa. Kiihtyyväysanturit kiinnitetään painoihin, jolloin voidaan varmistaa, että likkeet suoritetaan oikein.

Kolmanneksi (500 euroa) tuli **Matti Tuunasen** (EVTEK) idea Rata- ja kilpa-ammuntatapahtuman analysointi aseeseen liitetyillä kiihtyyväysantureilla. Analyysiä voi käyttää apuna harjoittelussa.

Lähte 2

Teknologiateollisuuden poikkitieteellisyyspalkinto

Teknologiateollisuuden 1000 euron tunnustuksen saivat demosarjaan osallistuneet **Pasi Aro** ja **Viljami Mäki** EVTEK-ammattikorkeakoulusta. He ideoivat ja demonstroivat kilpailutyössään ~~jetokonehiirtä~~ korvaavan datahanskan, joka soveltuu hyvin esimerkiksi moniulotteiseen ~~suunnitteluun~~ ja peleihin.

<http://www.teknikkatalous.fi/tk/article23412.ece> Luettu 18.11.08

Ideakilpailu

Jokaisella ihmisellä on yksilöllinen nimikirjoitus ja ennen kaikkea yksilöllinen kädenliike nimikirjoitusta kirjoittaessa. Nimikirjoitus on kuin sormenjälki ja se kirjoitetaan aina lähes samalla tavalla. Ihmiselle on vakiintunut oma tyylilisä, joka kuvaa hänen nimikirjoitustaan. Tämä on erittäin yksilöllinen ja helposti tunnistettava.

Nimikirjoituksen voi väärin määritellä suhteellisen helposti harjoittelemalla alkuperäisen kanssa mutta käden liikkeen kopioiminen onkin mielestäni merkittävästi vaikeampaa.

Näin ollen kiihtyvyysantureita voitaisiin käyttää kynän liikkeen rekisteröimiseen. Kynää ja kynän antamia tietoja voitaisiin käyttää lisänä passeissa ja henkilöllisyystodistuksissa sekä sellaisenaan kulunvalvonnassa korvaamaan kulkukortit.

Ajattelin toteuttaa idean yksinkertaisesti asentamalla kynän kärkeen kiihtyvyysanturin ja kytkeä kynän AD-muuntajan kautta tietokoneeseen. Tekisin myös ohjelman joka tunnistaa nimikirjoituksen kirjoittajan.

Kun laite on kunnossa ajattelin testata sitä lukuisia kertoja eri henkilöillä. Näin tulisi testattua kuinka hyvin laite toimii ja tutkimustulosten perusteella voidaan arvioida laitteen luotettavuus nimikirjoituksen tunnistamisessa. Tulosten avulla suoritetaan laitteen hienosäätöä ja asetetaan virherajat nimikirjoitusnäytteelle.

www.evtek.fi/n/karisv/temp/backup32006/Dasema/vtikilpailu2004/Ideakilpailu.doc

Edellinen siis lähtökohta ideakilpailuun keväällä 2004, josta tulokseksi tuli 1. sija. Ensimmäinen vuosi EVTEK:ssa oli meneillään ja päätti hienosti. Nyt viimeinen Metropoliassa ja Tietokone-lehdestä 13/2008 s. 36 voi lukea mielenkiintoista Jyrki Kasvin artikkelia biometrisistä tunnisteista:

Kuka han minä olen?

Biometriset tunnisteet olivat jo tuolloin tapetilla, mutta *Idea voitti koska se antoi niin paljon*

Liite 4

~~oitekehityssuuntia./Kari Vierinen/~~ Näin taisi käydä myös 2006 sijoittuessa teoriasarjassa kolmanneksi.. Joten **ideasta ideoiksi MARS, the show must go on!**

Vuonna 2005 keväällä ideakilpailuun osallistuminen aiheella ”ihmisen nivelet” ei tuottanut tulosta. Idean ydin oli että liikkeen aikana syntynyt tärinä nivelistä kertoisi nivelen kunnosta ja sitä kautta olisi voinut määrittää nivelen kuntoa ja ennaltaehkäistä nivelen rappeutumista eri keinoin. Taisi olla jo keksitty... jaa-a.

Seuraavassa on raportti ilman liitteitä kyseisestä kilpailusta keväällä 2004.

Liite 5

EVTEK

Mikko Kiviahde

IDEAKILPAILU

EP03S

9.5.2004

Mikko.Kiviahde@evtek.fi

1. Tiivistelmä

Nimikirjoitus ja kädenliike sitä kirjoittaessa ovat yksilöllisiä.

Nimikirjoitusta tehdessä käden ja kynän liikkeen voi rekisteröidä kiihtyvyysantureiden avulla. Nimikirjoituksen kiihtyvyysnäytettä voidaan käyttää henkilön tunnistamisessa.

Nimikirjoitustunnistusta voisi käyttää lisänä passeissa, henkilöllisyystodistuksissa, pankkikorteissa ja sellaisenaan kulunvalvonnassa.

Asensin kynän kärkeen kaksi kiihtyvyysanturia ja kytkin ne dataloggerin kautta tietokoneeseen. Suoritin nimikirjoitusnäytteiden oton Data studio-ohjelmalla.

Tavoitteena oli demonstroida ideaa ja kartoittaa idean vahvuuksia ja heikkouksia.

Nimikirjoitustunnistuksessa pitäisi kehittää algoritmi joka sallii virheitä suhteellisen paljon. Tämä ei kuitenkaan helpota väärrentämistä merkittävästi.

2. Teoria

Jokainen ihminen on yksilö, jolla on yksilöllisiä ominaisuuksia ja yhteiskunnan heille antamia yksilöllisiä tunnuksia kuten nimi ja henkilöllisyystunnus. Nämä tunnukset on annettu, jotta yksilöt erottuisivat massasta. Nämä ominaisuudet ja tunnukset luovat

yhdessä perustan ihmisen tunnistamiselle, esimerkiksi passin kuva ja tiedot.

Ihmiselle kehittyy jo suhteellisen varhaisessa vaiheessa yksilöllinen nimikirjoitus ja ennen kaikkea yksilöllinen kädenliike nimikirjoitusta kirjoittaessa. Kädenliike on vakiintunut ja nimikirjoitus kirjoitetaan aina lähes samalla tavalla.

Paperille kirjoitetun nimikirjoituksen voi mielestäni pienellä harjoittelulla kopioida melko helposti, mutta kädenliikkeen jäljittely onkin jo merkittävästi vaikeampaa.

Nämä ollen kiihtyvyyssantureita voisi käyttää käden, tai kynän jota käsi ohjaa, liikkeiden rekisteröimiseen nimikirjoituksen aikana. Nimikirjoitustunnistusta voitaisiin käyttää lisänä passeissa, henkilöllisyystodistuksissa, pankkikorteissa ja kulunvalvonnassa.

Passeissa sekä henkilöllisyystodistuksissa henkilö todistaisi olevansa passin todellinen haltija. Nämä varastetun tai väärennetyn passin/henkilöllisyystodistuksen käyttö ei onnistuisi kun viranomaisilla olisi näyte mihiin verrata. Näyte pitäisi antaa passia/henkilöllisyystodistusta haettaessa.

Pankkikorttia käytettäessä ja pankissa asiodessa pitäisi todistaa olevansa oikea henkilö saman periaatteen mukaan kuin edellä. Tärkeissä kohteissa kulunvalvonnassa olisi nimikirjoitustunnistus. Nimikirjoitusta ei voi hukata tai varastaa kuten kulkukorttia.

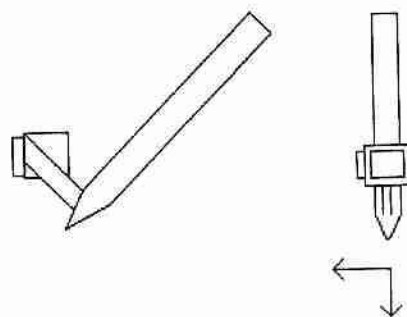
Käytökohteet ovat ajankohtaisia sillä julkisuudessa on ollut esillä erilaisten biometristen tunnisteiden lisääminen passeihin (Newsweek March 8, 2004: s. 43-46). Tällaisia ovat muun muassa sormenjälki, iiris kuva, digitaalinen valokuva ja äänitunniste.

Tavoitteena tässä projektissa on demonstroida ideaa sekä kartoittaa idean heikkouksia ja vahvuuksia.

3. Työn kuvaus

Valitsi käyttööni kaksi 3g SCA320-CC5V1G-kiihtyvyysanturia. Arvelin tämän riittävän käyttötarkoitukseeni. Pienempiä en uskaltanut ottaa sillä joillakin ihmisiä on aika raju kädenliike nimikirjoitusta kirjoittaessa.

Asensin kynään kaksi kiihtyvyysanturia kuvan osoittamalla tavalla. Anturit ovat 90° :n kulmassa toisiinsa nähdien. Näin näytteeseen tulee kiihtyvyys kahteen suuntaan ajan funktiona. Pienen tutkimuksen jälkeen päätin asettaa anturit 45° :n kulmaan kynään nähdien, koska kynä on ihmisiä kirjoittaessa yleensä n. 45° :n kulmassa alustaan nähdien. Näin anturit mittaavat kiihtyvyttä kirjoittaessa jotakuinkin kirjoitustason suunnassa henkilöstä riippuen (kuva 1.).



Kytkin laitteen Science Workshop™ 500 Interface –dataloggerin kautta tietokoneeseen. Näytteiden keruun suoritin Data-studio ohjelmalla ja kaikki liitteet ovat tulosteita siitä.

Ennen nimikirjoitusnäytteiden ottoa kalibroin anturit

käsivaraisesti käyttäen hyväksi maan vetovoimaa. Sovelluksessa ei ollut valittavissa kuin 5g-kiihtyvyysanturi, joten kalibrointi oli tarpeen. Tämä saattoi myös vääristää kiihtyvyyksiä näytteissä, mutta kun näytteet vääristyvät aina samalla tavalla niin se ei haittaa idean demonstroimista. Asetin näytteen otto nopeudeksi 100 Hz.

Näin otin lukuisia nimikirjoitusnäytteitä jotka ovat liitteinä. Otin näytteitä itseni lisäksi kolmelta muulta henkilöltä. Nämä henkilöt olivat Niklos Neuvonen, Nam Phan ja Tomi Varjus.

4. Nimikirjoitusnäytteet

Liitteissä on aina nimikirjoitus kirjoitettuna ja alla kuvaaja sen nimikirjoituksen kiihtyvyksistä kahdessa suunnassa ajan funktiona yksiköissä m/s².

Liitteissä 1, 2, 3 ja 4 on minun nimikirjoitukseni ja liitteessä 5 on Niklos Neuvosen kopointyritys minun nimikirjoituksesta pienien harjoittelun jälkeen. Liitteessä 4 on kaksi näytettä päällekkäin. Näytteet 1, 2, ja 3 on otettu eri päivinä.

Liitteet 6 ja 7 ovat Niklos Neuvosen näytteet ja liitteessä 8 minä yritin kopioida hänen nimikirjoituksen. Liitteet 9 ja 10 ovat Nam Phanin ,ja liitteet 11 ja 12 ovat Tomi Varjuksen.

Näytteistä näkyy selvästi kuvaajien rakenne, aika joka kuluu henkilöltä kirjoittamiseen sekä kynän alku- ja loppuasento. Alkuasento on ikään kuin nollakohta y-akselilla johon kuvaaja aina pyrkii takaisin.

Minun näytteen rakenteesta erottuu selvästi alkusento, etunimi, iin piste, sukunimi, loppuveto sekä loppusento. Osassa minun näytteissä on alussa noin puolitoista sekuntia tasaista koska jouduin itse käynnistämään näytteenoton.

Nikloksen väärennysryksessä aikaa kuluu saman verran kuin minulla ja lähtöasento on jotakuinkin sama. Siitä erottuu myös etu- ja sukunimi, mutta muuten sen erottaa hyvin selvästi väärennökseksi. Minun väärennysryksessä Nikloksen nimikirjoituksesta aikaa kului lähes tuplasti ja se on muutostenkin kuin toiselta planeetalta.

Näytteistä käy myös selvästi ilmi se, että henkilöt eivät kirjoita nimikirjoitustaan aina samalla tavalla. Kuitenkin rakenne ja alkua loppusento pysvät kutakuinkin samanlaisena.

5. Päätelmat

Ihmisen on mahdotonta toistaa jokin asia täydellisesti samalla tavalla. Ihminen on myös ailahteleva ja ihmisen suorituukseen vaikuttaa monenlaisia eri tekijöitä. Nämä ovat asioita jotka puhuvat ideaani vastaan.

Kädenliike kynän asentoineen on kuitenkin niin yksilöllinen että siihen voisi soveltaa löysiä virherajoja algoritmia miettiessä.

Algoritmia miettiessä eniten huomiota kannattaa kiinnittää aikaan, kynän asentoon alussa ja lopussa, rakenteeseen sekä perusasentoon, johon kuvaaja näyttää aina pyrkivän eri henkilöillä. Algoritmissa voisi myös huomioida tyypillisiä virheitä, joita eri ihmiset tekevät kirjoittaessaan. Tällöin näytettä

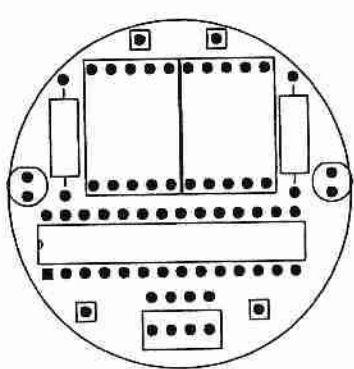
Liite 10

verrattaisiin useampaan aikaisemmin annettuun näytteeseen.

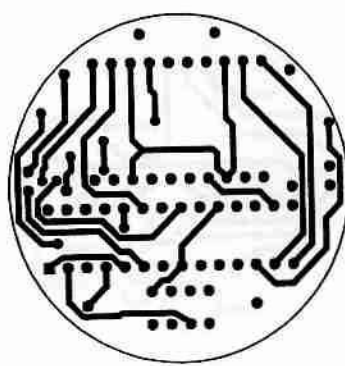
www.evtek.fi/n/karisv/temp/backup32006/Dasema/vtikilpailu2004/.../vtiideat2004/Kiviahde/Ideakilpailu%5B1%5D.doc 25.11.08

Litteet puuttuvat mutta tähän työ johti. Melkein samoin kävi nyt, mutta ihan niin pitkälle ei säätytännössä päästy. Liekö vanhuus ja epäkypsyy (= tässä tapauksessa mädäntyminen) iskenyt?

D:D:D:D



2.

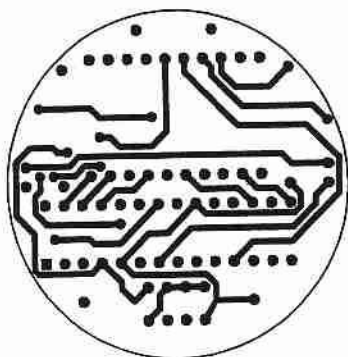


504820-Series

Microcontroller

PCB

Design



SCA620 Series

Accelerometer

FEATURES

- Available ranges $\pm 1.7\text{ g}$ and $\pm 12\text{ g}$
- 8-pin plastic surface mount DIP package mountable with pick and place machines
- Enhanced failure detection
- Digitally activated electrostatic self test
- Calibration memory parity check
- Continuous connection failure detection
- Bi-directional acceleration measurement
- Controlled frequency response in the sensing element
- Single +5 V supply; ratiometric voltage output in the range 4.75 ... 5.25 V
- Lead-free reflow solderable lead-free component

BENEFITS

- Exceptional reliability, unprecedented accuracy and excellent stability over temperature and time
- Outstanding overload and shock durability
- No additional components required

APPLICATIONS

- Acceleration measurement
 - Inclination measurement
 - Motion measurement
 - Vibration measurement
- For customised product please contact
VTI Technologies

ELECTRICAL CHARACTERISTICS

Parameter	Condition	Min.	Typ.	Max.	Units
Supply voltage V_{dd}		4.75		5.25	V
Current consumption	$V_{dd} = 5\text{ V}$; No load		2.0	4.0	mA
Operating temperature		-40	+100	125	°C
Resistive output load	V_{out} to V_{dd} or V_{ss}	20			kOhm
Capacitive load	V_{out} to V_{dd} or V_{ss}		20		nF
Output noise $^{(1)}$	DC...4 kHz		5		mVRms

PERFORMANCE CHARACTERISTICS

Parameter	Condition/ Comment	SCA620- CF8H1A	SCA620- CHCV1A	Units
Measuring range $^{(2)}$	Nominal	± 1.7	± 12	g
Measuring direction $^{(3)}$	Horizontal	Vertical		
Zero point $(nom.)^{(4)}$	Mounting position	$V_{dd}/2$	$V_{dd}/2$	V
Sensitivity	@ room temperature	12.5	0.5	V/g
Zero point error $^{(5)}$	-40...125 °C	± 125	700	mg
Sensitivity error $^{(6)}$	-40...125 °C	$\pm 4^{(8)}$	± 4	%
Sensitivity error $^{(7)}$	-25...85 °C	$\pm 3^{(8)}$	± 3	%
Typical non-linearity $^{(9)}$	Over measuring range	$\pm 40^{(9)}$	± 300	mg
Cross-axis sensitivity $^{(10)}$		4	4	%
Frequency response	-3 dB point $^{(11)}$	50 ± 30	400 ± 150	Hz
Ratiometric error $^{(12)}$	$V_{dd} = 4.75\text{...}5.25\text{ V}$	2	2	%

VDD = 5.00 V, UNLESS OTHERWISE SPECIFIED

Note 1 The noise density of CF8H1A is $20\text{ }\mu\text{g}/\text{V}\cdot\text{Hz}$.

Note 2 The measuring range is limited by sensitivity, offset and supply voltage rails of the device.

Note 3 Measuring direction perpendicular to the mounting plane.

Note 4 Vertical versions in +q position pins down, horizontal versions leg row 1-4 pointing downwards.

Note 5a Sensitivity specified as $[V_{out} (+1\text{ g}) - V_{out} (-1\text{ g})] / 2 [V/\text{g}]$.

Note 6 Zero point error specified as $(V_{out} (+0\text{ g}) - V_{dd}/2) / V_{sens} [\text{g}]$ (room temp. error included); V_{sens} = Nominal sensitivity

Note 7 Typical tolerance, not 100 % tested.

Note 8 Sensitivity error specified as $[(V_{out} (+1\text{ g}) - V_{out} (-1\text{ g})) / 2] / V_{sens} \times 100\% [\%]$ (room temp. error included); V_{sens} = Nominal sensitivity

Note 9 Relative to straight line between $\pm 1\text{ g}$.

Note 10 The cross-axis sensitivity determines how much acceleration, perpendicular to the measuring axis, couples to the output. The total cross-axis sensitivity is the geometric sum of the sensitivities of the two axes, which are perpendicular to the measuring axis.

Note 11 The output has true DC (0 Hz) response.

Note 12 Supply voltage noise also couples to the output, due to the ratiometric (output proportional to supply voltage) nature of the accelerometer.

The ratiometric error is specified as:

$$RE = 100\% \times \left[1 - \frac{V_{out}(@Vx) \times \frac{5.00\text{ V}}{Vx}}{V_{out}(@5\text{ V})} \right]$$

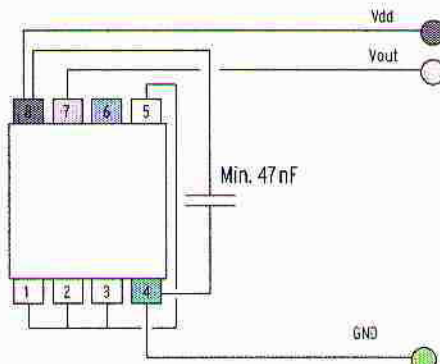
ABSOLUTE MAXIMUM RATINGS

Parameter	Value	Units
Acceleration (powered or non-powered)	20000	g
Supply voltage	-0.3 to +7.0	V
Voltage at input / output pins	-0.3 to Vdd + 0.3	V
Temperature range	-55 to +125	°C

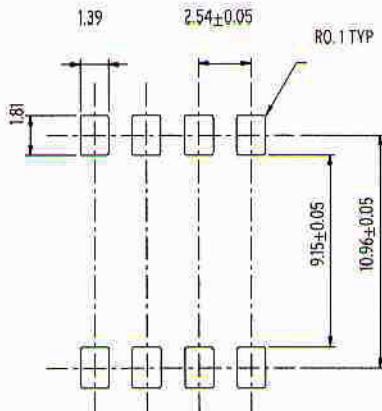
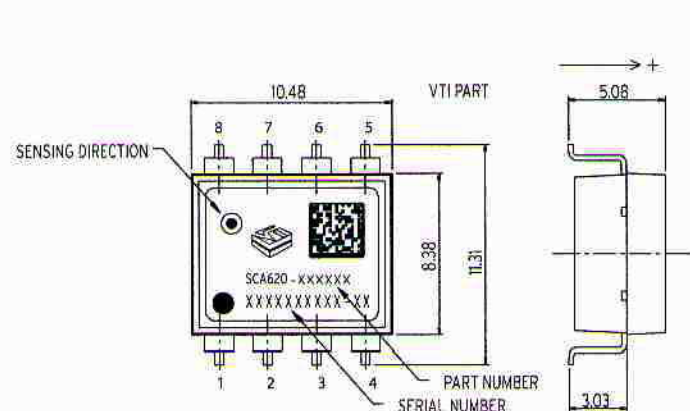
ELECTRICAL CONNECTION

Pin#	Pin Name	Connection
1		Open or capacitively connected to GND for EMC*
2		Open or capacitively connected to GND for EMC*
3		Open or capacitively connected to GND for EMC*
4	GND	Negative supply voltage (VSS)
5		Open or capacitively connected to GND for EMC*
6	ST	Self-test control
7	VOUT	Sensor analog output
8	VDD	Positive supply voltage (VDD)

* Recommended capacity min. 20 pF - Effectiveness should be tested and if necessary adapted in the respective connection.

RECOMMENDED CIRCUIT**DIMENSIONS**

The accelerometer weighs under 1g.
The size of the part is approximately (w x h x l) 9 x 5 x 11 mm. Pin pitch is standard 100 mils.

PCB PAD LAYOUTS

Acceleration in the direction of the arrow
will increase the output voltage.



28/40/44/64-Pin Flash-Based, 8-Bit CMOS Microcontrollers with LCD Driver and nanoWatt Technology

High-Performance RISC CPU:

- Only 35 instructions to learn:
 - All single-cycle instructions except branches
- Operating speed:
 - DC – 20 MHz oscillator/clock input
 - DC – 200 ns instruction cycle
- Program Memory Read (PMR) capability
- Interrupt capability
- 8-level deep hardware stack
- Direct, Indirect and Relative Addressing modes

Special Microcontroller Features:

- Precision Internal Oscillator:
 - Factory calibrated to $\pm 1\%$, typical
 - Software selectable frequency range of 8 MHz to 125 kHz
 - Software tunable
 - Two-Speed Start-up mode
 - External Oscillator fail detect for critical applications
 - Clock mode switching during operation for power savings
- Software selectable 31 kHz internal oscillator
- Power-Saving Sleep mode
- Wide operating voltage range (2.0V-5.5V)
- Industrial and Extended temperature range
- Power-on Reset (POR)
- Power-up Timer (PWRT) and Oscillator Start-up Timer (OST)
- Brown-out Reset (BOR) with software control option
- Enhanced Low-Current Watchdog Timer (WDT) with on-chip oscillator (software selectable nominal 268 seconds with full prescaler) with software enable
- Multiplexed Master Clear with pull-up/input pin
- Programmable code protection
- High-Endurance Flash/EEPROM cell:
 - 100,000 write Flash endurance
 - 1,000,000 write EEPROM endurance
 - Flash/Data EEPROM retention: > 40 years

Low-Power Features:

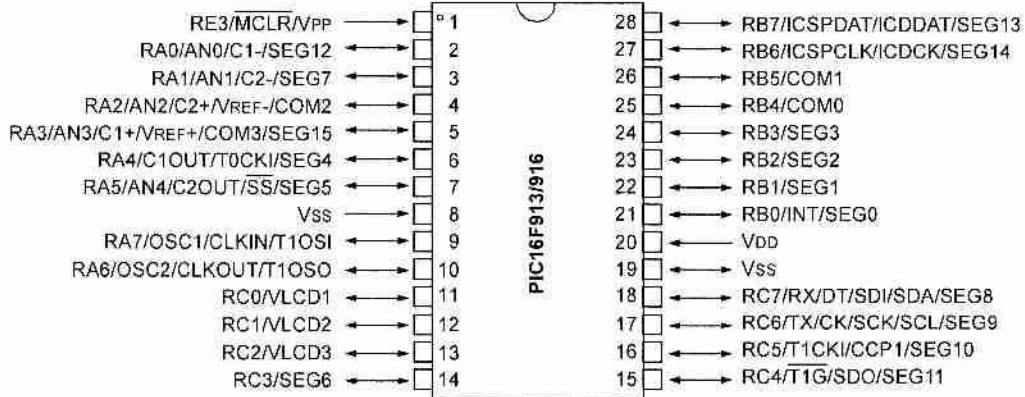
- Standby Current:
 - <100 nA @ 2.0V, typical
- Operating Current:
 - 11 μ A @ 32 kHz, 2.0V, typical
 - 220 μ A @ 4 MHz, 2.0V, typical
- Watchdog Timer Current:
 - 1 μ A @ 2.0V, typical

Peripheral Features:

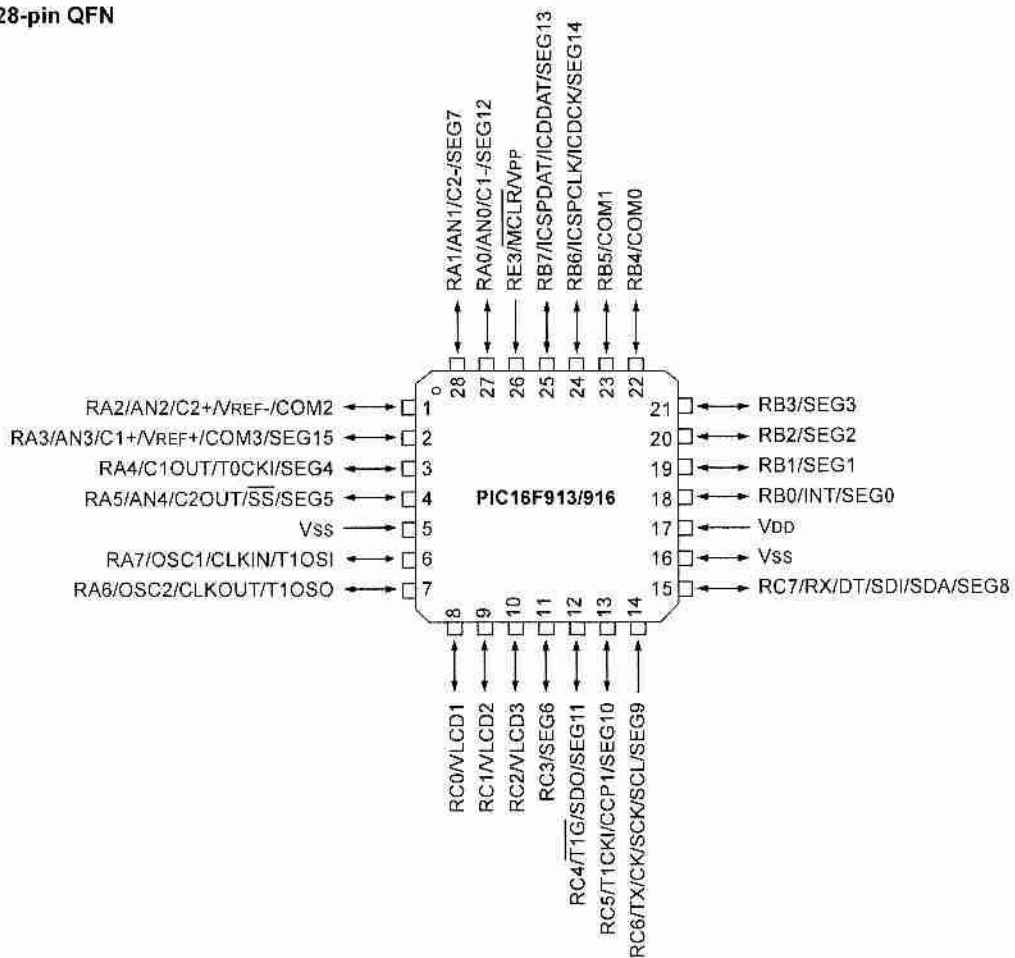
- Liquid Crystal Display module:
 - Up to 60/96/168 pixel drive capability on 28/40/64-pin devices, respectively
 - Four commons
- Up to 24/35/53 I/O pins and 1 input-only pin:
 - High-current source/sink for direct LED drive
 - Interrupt-on-change pin
 - Individually programmable weak pull-ups
- In-Circuit Serial Programming™ (ICSP™) via two pins
- Analog comparator module with:
 - Two analog comparators
 - Programmable on-chip voltage reference (CVREF) module (% of VDD)
 - Comparator inputs and outputs externally accessible
- A/D Converter:
 - 10-bit resolution and up to 8 channels
- Timer0: 8-bit timer/counter with 8-bit programmable prescaler
- Enhanced Timer1:
 - 16-bit timer/counter with prescaler
 - External Timer1 Gate (count enable)
 - Option to use OSC1 and OSC2 as Timer1 oscillator if INTOSCIO or LP mode is selected
- Timer2: 8-bit timer/counter with 8-bit period register, prescaler and postscaler
- Addressable Universal Synchronous Asynchronous Receiver Transmitter (AUSART)
- Up to 2 Capture, Compare, PWM modules:
 - 16-bit Capture, max. resolution 12.5 ns
 - 16-bit Compare, max. resolution 200 ns
 - 10-bit PVM, max. frequency 20 kHz
- Synchronous Serial Port (SSP) with I²C™

Pin Diagrams – PIC16F913/916, 28-Pin

28-pin PDIP, SOIC, SSOP



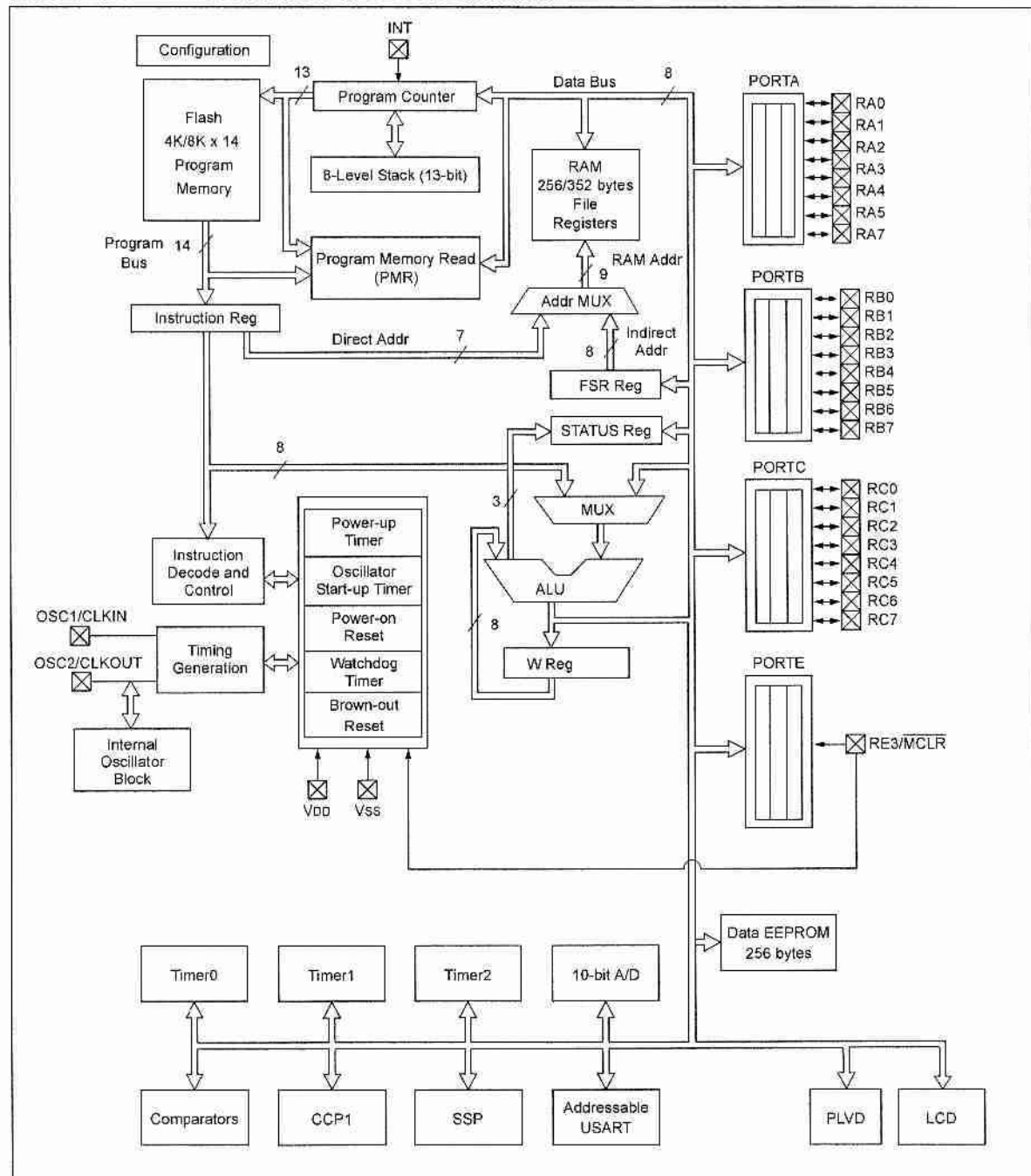
28-pin QFN



1.0 DEVICE OVERVIEW

The PIC16F91X/946 devices are covered by this data sheet. They are available in 28/40/44/64-pin packages. Figure 1-1 shows a block diagram of the PIC16F913/916 device, Figure 1-2 shows a block diagram of the PIC16F914/917 device, and Figure 1-3 shows a block diagram of the PIC16F946 device. Table 1-1 shows the pinout descriptions.

FIGURE 1-1: PIC16F913/916 BLOCK DIAGRAM



PIC16F913/914/916/917/946

TABLE 1-1: PIC16F91X/946 PINOUT DESCRIPTIONS

Name	Function	Input Type	Output Type	Description
RA0/AN0/C1-/SEG12	RA0	TTL	CMOS	General purpose I/O.
	AN0	AN	—	Analog input Channel 0.
	C1-	AN	—	Comparator 1 negative input.
	SEG12	—	AN	LCD analog output.
RA1/AN1/C2-/SEG7	RA1	TTL	CMOS	General purpose I/O.
	AN1	AN	—	Analog input Channel 1.
	C2-	AN	—	Comparator 2 negative input.
	SEG7	—	AN	LCD analog output.
RA2/AN2/C2+/VREF-/COM2	RA2	TTL	CMOS	General purpose I/O.
	AN2	AN	—	Analog input Channel 2.
	C2+	AN	—	Comparator 2 positive input.
	VREF-	AN	—	External A/D Voltage Reference – negative.
	COM2	—	AN	LCD analog output.
RA3/AN3/C1+/VREF+/COM3 ⁽¹⁾ /SEG15	RA3	TTL	CMOS	General purpose I/O.
	AN3	AN	—	Analog input Channel 3.
	C1+	AN	—	Comparator 1 positive input.
	VREF+	AN	—	External A/D Voltage Reference – positive.
	COM3 ⁽¹⁾	—	AN	LCD analog output.
	SEG15	—	AN	LCD analog output.
RA4/C1OUT/T0CKI/SEG4	RA4	TTL	CMOS	General purpose I/O.
	C1OUT	—	CMOS	Comparator 1 output.
	T0CKI	ST	—	Timer0 clock input.
	SEG4	—	AN	LCD analog output.
RA5/AN4/C2OUT/SS/SEG5	RA5	TTL	CMOS	General purpose I/O.
	AN4	AN	—	Analog input Channel 4.
	C2OUT	—	CMOS	Comparator 2 output.
	SS	TTL	—	Slave select input.
	SEG5	—	AN	LCD analog output.
RA6/OSC2/CLKOUT/T1OSO	RA6	TTL	CMOS	General purpose I/O.
	OSC2	—	XTAL	Crystal/Resonator.
	CLKOUT	—	CMOS	Tosc/4 reference clock.
	T1OSO	—	XTAL	Timer1 oscillator output.
RA7/OSC1/CLKIN/T1OSI	RA7	TTL	CMOS	General purpose I/O.
	OSC1	XTAL	—	Crystal/Resonator.
	CLKIN	ST	—	Clock input.
	T1OSI	XTAL	—	Timer1 oscillator input.
RB0/INT/SEG0	RB0	TTL	CMOS	General purpose I/O. Individually enabled pull-up.
	INT	ST	—	External interrupt pin.
	SEG0	—	AN	LCD analog output.

Legend: AN = Analog input or output CMOS = CMOS compatible input or output OD = Open Drain
 TTL = TTL compatible input ST = Schmitt Trigger input with CMOS levels P = Power
 HV = High Voltage XTAL = Crystal

- Note 1: COM3 is available on RA3 for the PIC16F913/916 and on RD0 for the PIC16F914/917 and PIC16F946.
 2: Pins available on PIC16F914/917 and PIC16F946 only.
 3: Pins available on PIC16F946 only.
 4: I²C Schmitt trigger inputs have special input levels.

TABLE 1-1: PIC16F91X/946 PINOUT DESCRIPTIONS (CONTINUED)

Name	Function	Input Type	Output Type	Description
RB1/SEG1	RB1	TTL	CMOS	General purpose I/O. Individually enabled pull-up.
	SEG1	—	AN	LCD analog output.
RB2/SEG2	RB2	TTL	CMOS	General purpose I/O. Individually enabled pull-up.
	SEG2	—	AN	LCD analog output.
RB3/SEG3	RB3	TTL	CMOS	General purpose I/O. Individually enabled pull-up.
	SEG3	—	AN	LCD analog output.
RB4/COM0	RB4	TTL	CMOS	General purpose I/O. Individually controlled interrupt-on-change. Individually enabled pull-up.
	COM0	—	AN	LCD analog output.
RB5/COM1	RB5	TTL	CMOS	General purpose I/O. Individually controlled interrupt-on-change. Individually enabled pull-up.
	COM1	—	AN	LCD analog output.
RB6/ICSPCLK/ICDCK/SEG14	RB6	TTL	CMOS	General purpose I/O. Individually controlled interrupt-on-change. Individually enabled pull-up.
	ICSPCLK	ST	—	ICSP™ clock.
	ICDCK	ST	—	ICD clock.
	SEG14	—	AN	LCD analog output.
RB7/ICSPDAT/ICDDAT/SEG13	RB7	TTL	CMOS	General purpose I/O. Individually controlled interrupt-on-change. Individually enabled pull-up.
	ICSPDAT	ST	CMOS	ICSP Data I/O.
	ICDDAT	ST	CMOS	ICD Data I/O.
	SEG13	—	AN	LCD analog output.
RC0/VLCD1	RC0	ST	CMOS	General purpose I/O.
	VLCD1	AN	—	LCD analog input.
RC1/VLCD2	RC1	ST	CMOS	General purpose I/O.
	VLCD2	AN	—	LCD analog input.
RC2/VLCD3	RC2	ST	CMOS	General purpose I/O.
	VLCD3	AN	—	LCD analog input.
RC3/SEG6	RC3	ST	CMOS	General purpose I/O.
	SEG6	—	AN	LCD analog output.
RC4/T1G/SDO/SEG11	RC4	ST	CMOS	General purpose I/O.
	T1G	ST	—	Timer1 gate input.
	SDO	—	CMOS	Serial data output.
	SEG11	—	AN	LCD analog output.
RC5/T1CKI/CCP1/SEG10	RC5	ST	CMOS	General purpose I/O.
	T1CKI	ST	—	Timer1 clock input.
	CCP1	ST	CMOS	Capture 1 input/Compare 1 output/PWM 1 output.
	SEG10	—	AN	LCD analog output.

Legend: AN = Analog input or output
 TTL = TTL compatible input
 HV = High Voltage
 CMOS = CMOS compatible input or output
 ST = Schmitt Trigger input with CMOS levels
 XTAL = Crystal
 OD = Open Drain
 P = Power

Note 1: COM3 is available on RA3 for the PIC16F913/916 and on RD0 for the PIC16F914/917 and PIC16F946.

2: Pins available on PIC16F914/917 and PIC16F946 only.

3: Pins available on PIC16F946 only.

4: I²C Schmitt trigger inputs have special input levels.

2.0 MEMORY ORGANIZATION

2.1 Program Memory Organization

The PIC16F91X/946 has a 13-bit program counter capable of addressing a 4K x 14 program memory space for the PIC16F913/914 (0000h-0FFFh) and an 8K x 14 program memory space for the PIC16F916/917 and PIC16F946 (0000h-1FFFh). Accessing a location above the memory boundaries for the PIC16F913 and PIC16F914 will cause a wrap around within the first 4K x 14 space. The Reset vector is at 0000h and the interrupt vector is at 0004h.

FIGURE 2-1: PROGRAM MEMORY MAP AND STACK FOR THE PIC16F913/914

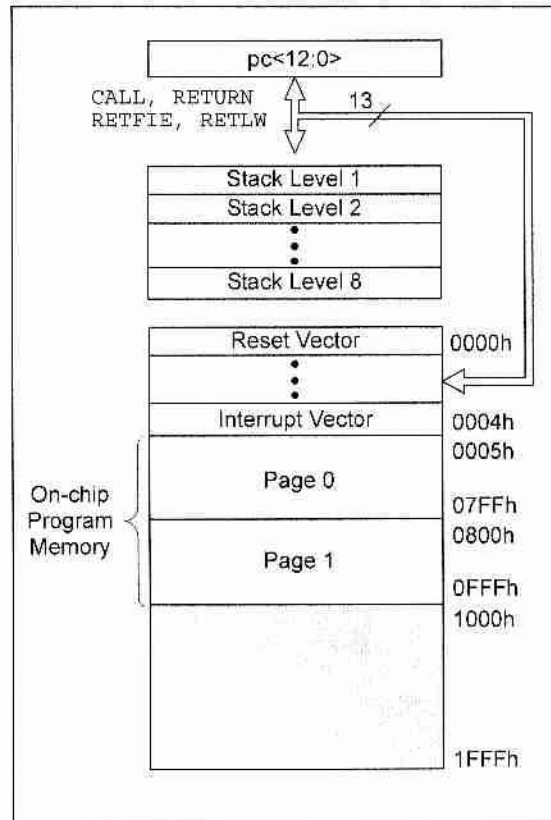


FIGURE 2-2: PROGRAM MEMORY MAP AND STACK FOR THE PIC16F916/917/PIC16F946

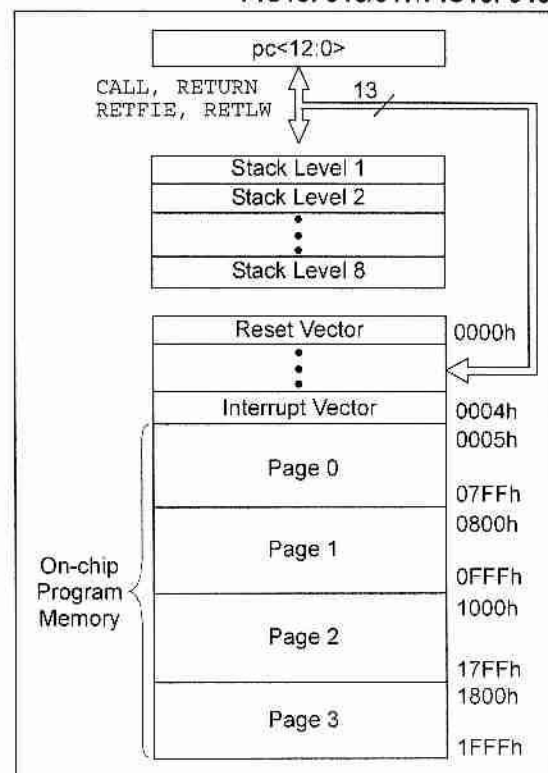


FIGURE 2-3: PIC16F913/916 SPECIAL FUNCTION REGISTERS

	File Address	File Address	File Address	File Address
Indirect addr. (1)	00h	Indirect addr. (1)	80h	Indirect addr. (1)
TMR0	01h	OPTION_REG	81h	TMR0
PCL	02h	PCL	82h	PCL
STATUS	03h	STATUS	83h	STATUS
FSR	04h	FSR	84h	FSR
PORTA	05h	TRISA	85h	WDTCON
PORTB	06h	TRISB	86h	PORTB
PORTC	07h	TRISC	87h	LCDCON
	08h		88h	LCDPS
PORTE	09h	TRISE	89h	LVDCON
PCLATH	0Ah	PCLATH	8Ah	PCLATH
INTCON	0Bh	INTCON	8Bh	INTCON
PIR1	0Ch	PIE1	8Ch	EEDATL
PIR2	0Dh	PIE2	8Dh	EEADRL
TMR1L	0Eh	PCON	8Eh	EEDATH
TMR1H	0Fh	OSCCON	8Fh	EEADRH
T1CON	10h	OSCTUNE	90h	LCDDATA0
TMR2	11h	ANSEL	91h	LCDDATA1
T2CON	12h	PR2	92h	
SPPBUF	13h	SSPADD	93h	LCDDATA3
SSPCON	14h	SSPSTAT	94h	LCDDATA4
CCPR1L	15h	WPUB	95h	
CCPR1H	16h	IOCB	96h	LCDDATA6
CCP1CON	17h	CMCON1	97h	LCDDATA7
RCSTA	18h	TXSTA	98h	
TXREG	19h	SPBRG	99h	LCDDATA9
RCREG	1Ah		9Ah	LCDDATA10
	1Bh		9Bh	
	1Ch	CMCON0	9Ch	LCDSE0
	1Dh	VRCON	9Dh	LCDSE1
ADRESH	1Eh	ADRESL	9Eh	
ADCON0	1Fh	ADCON1	9Fh	
	20h		A0h	
General Purpose Register		General Purpose Register		General Purpose Register (2)
96 Bytes		80 Bytes		96 Bytes
	7Fh	accesses 70h-7Fh	EFh	
			F0h	16Fh
			FFh	170h
				17Fh
Bank 0		Bank 1		Bank 2
				Bank 3
				1EFh
				1F0h
				1FFh

Unimplemented data memory locations, read as '0'.

Note 1: Not a physical register.

2: On the PIC16F913, unimplemented data memory locations, read as '0'.

2.2.2.1 STATUS Register

The STATUS register, shown in Register 2-1, contains:

- the arithmetic status of the ALU
- the Reset status
- the bank select bits for data memory (SRAM)

The STATUS register can be the destination for any instruction, like any other register. If the STATUS register is the destination for an instruction that affects the Z, DC or C bits, then the write to these three bits is disabled. These bits are set or cleared according to the device logic. Furthermore, the TO and PD bits are not writable. Therefore, the result of an instruction with the STATUS register as destination may be different than intended.

REGISTER 2-1: STATUS: STATUS REGISTER

R/W-0	R/W-0	R/W-0	R-1	R-1	R/W-x	R/W-x	R/W-x
IRP	RP1	RP0	TO	PD	Z	DC ⁽¹⁾	C ⁽¹⁾
bit 7							bit 0

Legend:

R = Readable bit

W = Writable bit

U = Unimplemented bit, read as '0'

-n = Value at POR

'1' = Bit is set

'0' = Bit is cleared

x = Bit is unknown

bit 7 **IRP:** Register Bank Select bit (used for indirect addressing)
 1 = Bank 2, 3 (100h-1FFh)
 0 = Bank 0, 1 (00h-FFh)

bit 6-5 **RP<1:0>:** Register Bank Select bits (used for direct addressing)
 00 = Bank 0 (00h-7Fh)
 01 = Bank 1 (80h-FFh)
 10 = Bank 2 (100h-17Fh)
 11 = Bank 3 (180h-1FFh)

bit 4 **TO:** Time-out bit
 1 = After power-up, CLRWDI instruction or SLEEP instruction
 0 = A WDT time-out occurred

bit 3 **PD:** Power-down bit
 1 = After power-up or by the CLRWDI instruction
 0 = By execution of the SLEEP instruction

bit 2 **Z:** Zero bit
 1 = The result of an arithmetic or logic operation is zero
 0 = The result of an arithmetic or logic operation is not zero

bit 1 **DC:** Digit Carry/Borrow bit (ADDWF, ADDLW, SUBLW, SUBWF instructions)⁽¹⁾
 1 = A carry-out from the 4th low-order bit of the result occurred
 0 = No carry-out from the 4th low-order bit of the result

bit 0 **C:** Carry/Borrow bit⁽¹⁾ (ADDWF, ADDLW, SUBLW, SUBWF instructions)⁽¹⁾
 1 = A carry-out from the Most Significant bit of the result occurred
 0 = No carry-out from the Most Significant bit of the result occurred

Note 1: For Borrow, the polarity is reversed. A subtraction is executed by adding the two's complement of the second operand. For rotate (RRF, RLF) instructions, this bit is loaded with either the high-order or low-order bit of the source register.

For example, CLRF STATUS will clear the upper three bits and set the Z bit. This leaves the STATUS register as '000u uuuu' (where u = unchanged).

It is recommended, therefore, that only BCF, BSF, SWAPF and MOVWF instructions are used to alter the STATUS register, because these instructions do not affect any Status bits. For other instructions not affecting any Status bits (see **Section 17.0 "Instruction Set Summary"**).

Note 1: The C and DC bits operate as Borrow and Digit Borrow out bits, respectively, in subtraction.

3.2 PORTA and TRISA Registers

PORTA is a 8-bit wide, bidirectional port. The corresponding data direction register is TRISA (Register 3-3). Setting a TRISA bit (= 1) will make the corresponding PORTA pin an input (i.e., put the corresponding output driver in a High-Impedance mode). Clearing a TRISA bit (= 0) will make the corresponding PORTA pin an output (i.e., put the contents of the output latch on the selected pin). Example 3-1 shows how to initialize PORTA.

Five of the pins of PORTA can be configured as analog inputs. These pins, RA5 and RA<3:0>, are configured as analog inputs on device power-up and must be reconfigured by the user to be used as I/O's. This is done by writing the appropriate values to the CMCON0 and ANSEL registers (see Example 3-1).

Reading the PORTA register (Register 3-2) reads the status of the pins, whereas writing to it will write to the PORT latch. All write operations are read-modify-write operations. Therefore, a write to a port means that the port pins are read, this value is modified and then written to the PORT data latch.

REGISTER 3-2: PORTA: PORTA REGISTER

| R/W-x |
|-------|-------|-------|-------|-------|-------|-------|-------|
| RA7 | RA6 | RA5 | RA4 | RA3 | RA2 | RA1 | RA0 |
| bit 7 | | | | | | | bit 0 |

Legend:

R = Readable bit

W = Writable bit

U = Unimplemented bit, read as '0'

-n = Value at POR

'1' = Bit is set

'0' = Bit is cleared

x = Bit is unknown

bit 7-0

RA<7:0>: PORTA I/O Pin bits

1 = Port pin is >VIH min.

0 = Port pin is <VIL max.

REGISTER 3-3: TRISA: PORTA TRI-STATE REGISTER

| R/W-1 |
|--------|--------|--------|--------|--------|--------|--------|--------|
| TRISA7 | TRISA6 | TRISA5 | TRISA4 | TRISA3 | TRISA2 | TRISA1 | TRISA0 |
| bit 7 | | | | | | | bit 0 |

Legend:

R = Readable bit

W = Writable bit

U = Unimplemented bit, read as '0'

-n = Value at POR

'1' = Bit is set

'0' = Bit is cleared

x = Bit is unknown

bit 7-0

TRISA<7:0>: PORTA Tri-State Control bits

1 = PORTA pin configured as an input (tri-stated)

0 = PORTA pin configured as an output

Note 1: TRISA<7:6> always reads '1' in XT, HS and LP Oscillator modes.

The TRISA register controls the direction of the PORTA pins, even when they are being used as analog inputs. The user must ensure the bits in the TRISA register are maintained set when using them as analog inputs. I/O pins configured as analog inputs always read '0'.

Note 1: The CMCON0 and ANSEL registers must be initialized to configure an analog channel as a digital input. Pins configured as analog inputs will read '0'.

EXAMPLE 3-1: INITIALIZING PORTA

```
BANKSEL PORTA      ;  
CLRF    PORTA      ;Init PORTA  
BANKSEL TRISA      ;  
MOVWL  07h        ;Set RA<2:0> to  
MOVWF  CMCON0     ;digital I/O  
CLRF    ANSEL      ;Make all PORTA digital I/O  
MOVWL  DF0h        ;Set RA<7:4> as inputs  
MOVWF  TRISA      ;and set RA<3:0> as outputs
```

3.2.1 PIN DESCRIPTIONS AND DIAGRAMS

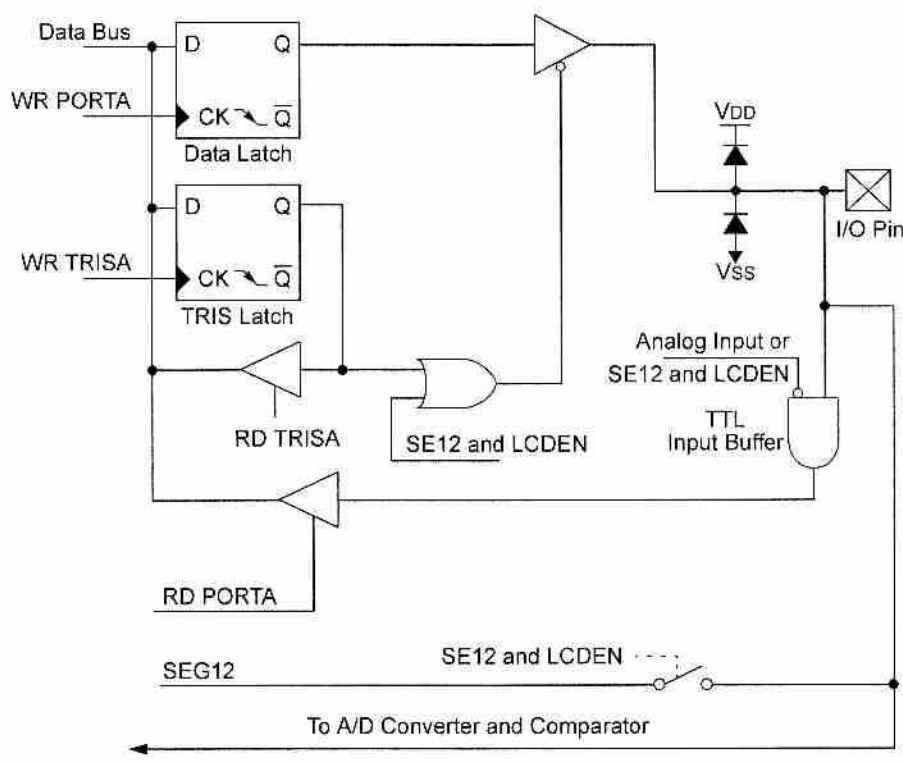
Each PORTA pin is multiplexed with other functions. The pins and their combined functions are briefly described here. For specific information about individual functions, refer to the appropriate section in this data sheet.

3.2.1.1 RA0/AN0/C1-/SEG12

Figure 3-1 shows the diagram for this pin. The RA0 pin is configurable to function as one of the following:

- a general purpose I/O
- an analog input for the ADC
- an analog input for Comparator C1
- an analog output for the LCD

FIGURE 3-1: BLOCK DIAGRAM OF RA0



4.0 OSCILLATOR MODULE (WITH FAIL-SAFE CLOCK MONITOR)

4.1 Overview

The Oscillator module has a wide variety of clock sources and selection features that allow it to be used in a wide range of applications while maximizing performance and minimizing power consumption. Figure 4-1 illustrates a block diagram of the Oscillator module.

Clock sources can be configured from external oscillators, quartz crystal resonators, ceramic resonators and Resistor-Capacitor (RC) circuits. In addition, the system clock source can be configured from one of two internal oscillators, with a choice of speeds selectable via software. Additional clock features include:

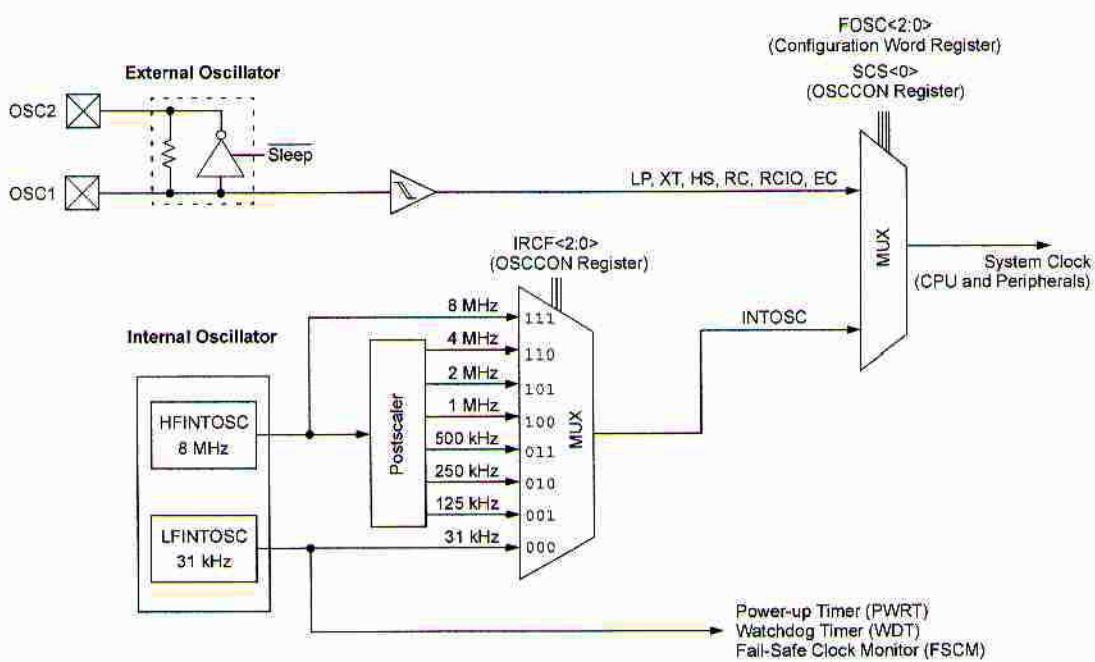
- Selectable system clock source between external or internal via software.
- Two-Speed Start-up mode, which minimizes latency between external oscillator start-up and code execution.
- Fail-Safe Clock Monitor (FSCM) designed to detect a failure of the external clock source (LP, XT, HS, EC or RC modes) and switch automatically to the internal oscillator.

The Oscillator module can be configured in one of eight clock modes:

1. EC – External clock with I/O on OSC2/CLKOUT.
2. LP – 32 kHz Low-Power Crystal mode.
3. XT – Medium Gain Crystal or Ceramic Resonator Oscillator mode.
4. HS – High Gain Crystal or Ceramic Resonator mode.
5. RC – External Resistor-Capacitor (RC) with Fosc/4 output on OSC2/CLKOUT.
6. RCIO – External Resistor-Capacitor (RC) with I/O on OSC2/CLKOUT.
7. INTOSC – Internal oscillator with Fosc/4 output on OSC2 and I/O on OSC1/CLKIN.
8. INTOSCIO – Internal oscillator with I/O on OSC1/CLKIN and OSC2/CLKOUT.

Clock Source modes are configured by the FOSC<2:0> bits in the Configuration Word register (CONFIG). The internal clock can be generated from two internal oscillators. The HFINTOSC is a calibrated high-frequency oscillator. The LFINTOSC is an uncalibrated low-frequency oscillator.

FIGURE 4-1: SIMPLIFIED PIC® MCU CLOCK SOURCE BLOCK DIAGRAM



PIC16F913/914/916/917/946

4.2 Oscillator Control

The Oscillator Control (OSCCON) register (Figure 4-1) controls the system clock and frequency selection options. The OSCCON register contains the following bits:

- Frequency selection bits (IRCF)
- Frequency Status bits (HTS, LTS)
- System clock control bits (OSTS, SCS)

REGISTER 4-1: OSCCON: OSCILLATOR CONTROL REGISTER

U-0	R/W-1	R/W-1	R/W-0	R-1	R-0	R-0	R/W-0
—	IRCF2	IRCF1	IRCF0	OSTS ⁽¹⁾	HTS	LTS	SCS
bit 7	bit 0						

Legend:

R = Readable bit

W = Writable bit

U = Unimplemented bit, read as '0'

-n = Value at POR

'1' = Bit is set

'0' = Bit is cleared

x = Bit is unknown

bit 7 **Unimplemented:** Read as '0'

bit 6-4 **IRCF<2:0>:** Internal Oscillator Frequency Select bits

111 = 8 MHz

110 = 4 MHz (default)

101 = 2 MHz

100 = 1 MHz

011 = 500 kHz

010 = 250 kHz

001 = 125 kHz

000 = 31 kHz (LFINTOSC)

bit 3 **OSTS:** Oscillator Start-up Time-out Status bit⁽¹⁾

1 = Device is running from the clock defined by FOSC<2:0> of the Configuration Word

0 = Device is running from the internal oscillator (HFINTOSC or LFINTOSC)

bit 2 **HTS:** HFINTOSC Status bit (High Frequency – 8 MHz to 125 kHz)

1 = HFINTOSC is stable

0 = HFINTOSC is not stable

bit 1 **LTS:** LFINTOSC Stable bit (Low Frequency – 31 kHz)

1 = LFINTOSC is stable

0 = LFINTOSC is not stable

bit 0 **SCS:** System Clock Select bit

1 = Internal oscillator is used for system clock

0 = Clock source defined by FOSC<2:0> of the Configuration Word

Note 1: Bit resets to '0' with Two-Speed Start-up and LP, XT or HS selected as the Oscillator mode or Fail-Safe mode is enabled.

4.3 Clock Source Modes

Clock Source modes can be classified as external or internal.

- External Clock modes rely on external circuitry for the clock source. Examples are: Oscillator modules (EC mode), quartz crystal resonators or ceramic resonators (LP, XT and HS modes) and Resistor-Capacitor (RC) mode circuits.
- Internal clock sources are contained internally within the Oscillator module. The Oscillator module has two internal oscillators: the 8 MHz High-Frequency Internal Oscillator (HFINTOSC) and the 31 kHz Low-Frequency Internal Oscillator (LFINTOSC).

The system clock can be selected between external or internal clock sources via the System Clock Select (SCS) bit of the OSCCON register. See **Section 4.6 "Clock Switching"** for additional information.

4.4 External Clock Modes

4.4.1 OSCILLATOR START-UP TIMER (OST)

If the Oscillator module is configured for LP, XT or HS modes, the Oscillator Start-up Timer (OST) counts 1024 oscillations from OSC1. This occurs following a Power-on Reset (POR) and when the Power-up Timer (PWRT) has expired (if configured), or a wake-up from Sleep. During this time, the program counter does not increment and program execution is suspended. The OST ensures that the oscillator circuit, using a quartz crystal resonator or ceramic resonator, has started and is providing a stable system clock to the Oscillator module. When switching between clock sources, a delay is required to allow the new clock to stabilize. These oscillator delays are shown in Table 4-1.

In order to minimize latency between external oscillator start-up and code execution, the Two-Speed Clock Start-up mode can be selected (see **Section 4.7 "Two-Speed Clock Start-up Mode"**).

TABLE 4-1: OSCILLATOR DELAY EXAMPLES

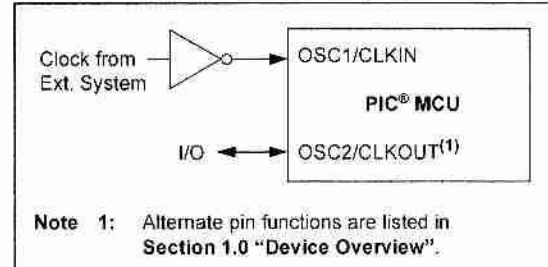
Switch From	Switch To	Frequency	Oscillator Delay
Sleep/POR	LFINTOSC HFINTOSC	31 kHz 125 kHz to 8 MHz	Oscillator Warm-Up Delay (TWARM)
Sleep/POR	EC, RC	DC – 20 MHz	2 instruction cycles
LFINTOSC (31 kHz)	EC, RC	DC – 20 MHz	1 cycle of each
Sleep/POR	LP, XT, HS	32 kHz to 20 MHz	1024 Clock Cycles (OST)
LFINTOSC (31 kHz)	HFINTOSC	125 kHz to 8 MHz	1 μ s (approx.)

4.4.2 EC MODE

The External Clock (EC) mode allows an externally generated logic level as the system clock source. When operating in this mode, an external clock source is connected to the OSC1 input and the OSC2 is available for general purpose I/O. Figure 4-2 shows the pin connections for EC mode.

The Oscillator Start-up Timer (OST) is disabled when EC mode is selected. Therefore, there is no delay in operation after a Power-on Reset (POR) or wake-up from Sleep. Because the PIC® MCU design is fully static, stopping the external clock input will have the effect of halting the device while leaving all data intact. Upon restarting the external clock, the device will resume operation as if no time had elapsed.

FIGURE 4-2: EXTERNAL CLOCK (EC) MODE OPERATION



Note 1: Alternate pin functions are listed in Section 1.0 "Device Overview".

12.0 ANALOG-TO-DIGITAL CONVERTER (ADC) MODULE

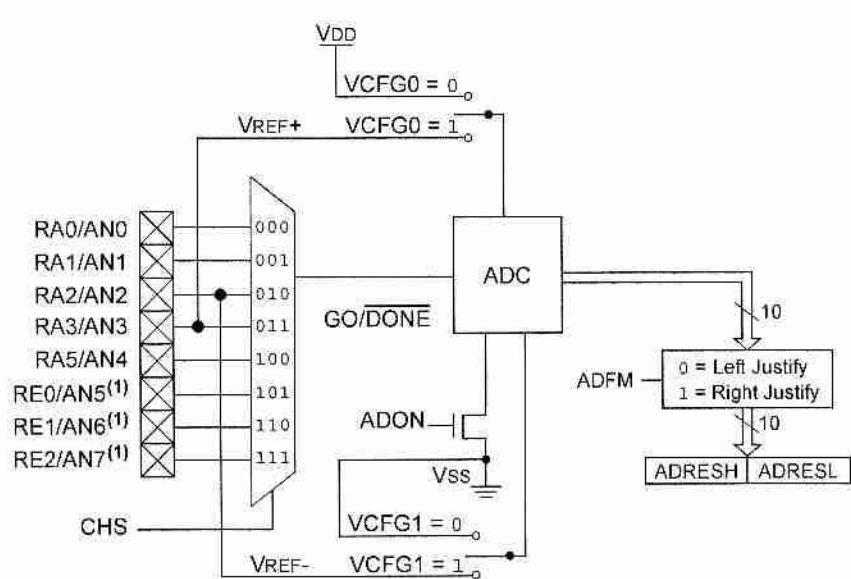
The Analog-to-Digital Converter (ADC) allows conversion of an analog input signal to a 10-bit binary representation of that signal. This device uses analog inputs, which are multiplexed into a single sample and hold circuit. The output of the sample and hold is connected to the input of the converter. The converter generates a 10-bit binary result via successive approximation and stores the conversion result into the ADC result registers (ADRESL and ADRESH).

The ADC voltage reference is software selectable to be either internally generated or externally supplied.

The ADC can generate an interrupt upon completion of a conversion. This interrupt can be used to wake-up the device from Sleep.

Figure 12-1 shows the block diagram of the ADC.

FIGURE 12-1: ADC BLOCK DIAGRAM



Note 1: These channels are only available on PIC16F914/917 and PIC16F946 devices.

12.1 ADC Configuration

When configuring and using the ADC the following functions must be considered:

- Port configuration
- Channel selection
- ADC voltage reference selection
- ADC conversion clock source
- Interrupt control
- Results formatting

12.1.1 PORT CONFIGURATION

The ADC can be used to convert both analog and digital signals. When converting analog signals, the I/O pin should be configured for analog by setting the associated TRIS and ANSEL bits. See the corresponding Port section for more information.

Note: Analog voltages on any pin that is defined as a digital input may cause the input buffer to conduct excess current.

12.1.2 CHANNEL SELECTION

The CHS bits of the ADCON0 register determine which channel is connected to the sample and hold circuit.

When changing channels, a delay is required before starting the next conversion. Refer to **Section 12.2 "ADC Operation"** for more information.

12.1.3 ADC VOLTAGE REFERENCE

The VCFG bits of the ADCON0 register provide independent control of the positive and negative voltage references. The positive voltage reference can be either VDD or an external voltage source. Likewise, the negative voltage reference can be either VSS or an external voltage source.

12.1.4 CONVERSION CLOCK

The source of the conversion clock is software selectable via the ADCS bits of the ADCON1 register. There are seven possible clock options:

- Fosc/2
- Fosc/4
- Fosc/8
- Fosc/16
- Fosc/32
- Fosc/64
- FRC (dedicated internal oscillator)

The time to complete one bit conversion is defined as TAD. One full 10-bit conversion requires 11 TAD periods as shown in Figure 12-3.

For correct conversion, the appropriate TAD specification must be met. See A/D conversion requirements in **Section 19.0 "Electrical Specifications"** for more information. Table 12-1 gives examples of appropriate ADC clock selections.

Note: Unless using the FRC, any changes in the system clock frequency will change the ADC clock frequency, which may adversely affect the ADC result.

TABLE 12-1: ADC CLOCK PERIOD (TAD) Vs. DEVICE OPERATING FREQUENCIES (VDD \geq 3.0V)

ADC Clock Period (TAD)		Device Frequency (Fosc)			
ADC Clock Source	ADCS<2:0>	20 MHz	8 MHz	4 MHz	1 MHz
Fosc/2	000	100 ns ⁽²⁾	250 ns ⁽²⁾	500 ns ⁽²⁾	2.0 μ s
Fosc/4	100	200 ns ⁽²⁾	500 ns ⁽²⁾	1.0 μ s ⁽²⁾	4.0 μ s
Fosc/8	001	400 ns ⁽²⁾	1.0 μ s ⁽²⁾	2.0 μ s	8.0 μ s ⁽³⁾
Fosc/16	101	800 ns ⁽²⁾	2.0 μ s	4.0 μ s	16.0 μ s ⁽³⁾
Fosc/32	010	1.6 μ s	4.0 μ s	8.0 μ s ⁽³⁾	32.0 μ s ⁽³⁾
Fosc/64	110	3.2 μ s	8.0 μ s ⁽³⁾	16.0 μ s ⁽³⁾	64.0 μ s ⁽³⁾
FRC	x11	2-6 μ s ^(1,4)			

Legend: Shaded cells are outside of recommended range.

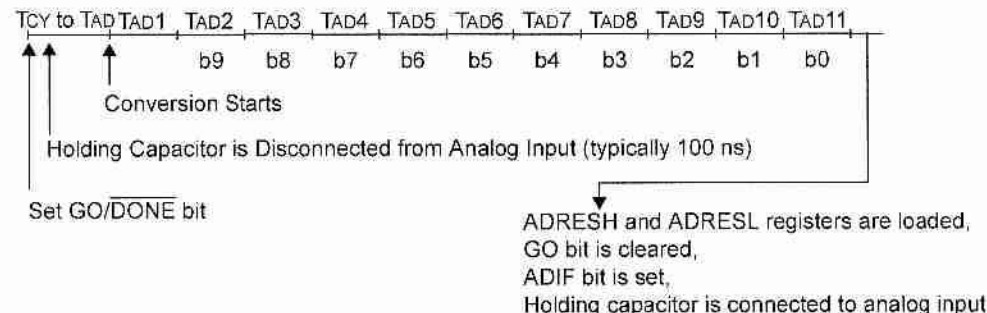
Note 1: The FRC source has a typical TAD time of 4 μ s for VDD > 3.0V.

2: These values violate the minimum required TAD time.

3: For faster conversion times, the selection of another clock source is recommended.

4: When the device frequency is greater than 1 MHz, the FRC clock source is only recommended if the conversion will be performed during Sleep.

FIGURE 12-2: ANALOG-TO-DIGITAL CONVERSION TAD CYCLES



12.1.5 INTERRUPTS

The ADC module allows for the ability to generate an interrupt upon completion of an Analog-to-Digital conversion. The ADC interrupt flag is the ADIF bit in the PIR1 register. The ADC interrupt enable is the ADIE bit in the PIE1 register. The ADIF bit must be cleared in software.

Note: The ADIF bit is set at the completion of every conversion, regardless of whether or not the ADC interrupt is enabled.

This interrupt can be generated while the device is operating or while in Sleep. If the device is in Sleep, the interrupt will wake-up the device. Upon waking from Sleep, the next instruction following the SLEEP instruction is always executed. If the user is attempting to wake-up from Sleep and resume in-line code execution, the global interrupt must be disabled. If the global interrupt is enabled, execution will switch to the Interrupt Service Routine.

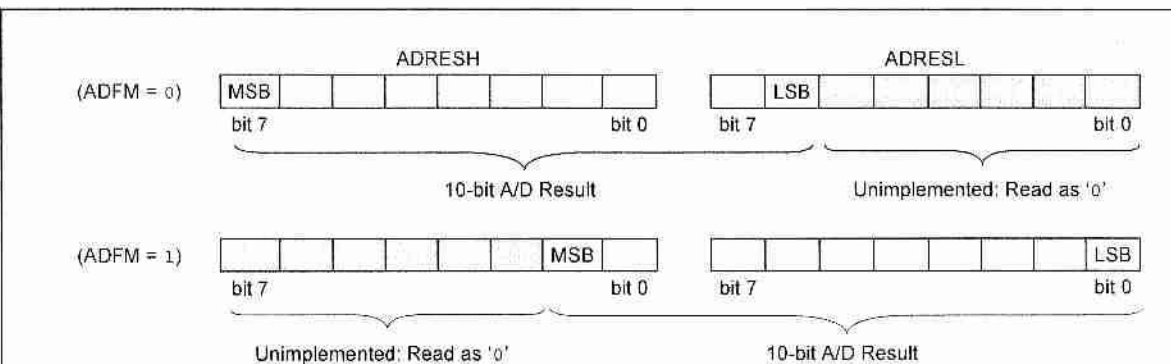
Please see Section 12.1.5 "Interrupts" for more information.

12.1.6 RESULT FORMATTING

The 10-bit A/D conversion result can be supplied in two formats, left justified or right justified. The ADFM bit of the ADCON0 register controls the output format.

Figure 12-4 shows the two output formats.

FIGURE 12-3: 10-BIT A/D CONVERSION RESULT FORMAT



12.2 ADC Operation

12.2.1 STARTING A CONVERSION

To enable the ADC module, the ADON bit of the ADCON0 register must be set to a '1'. Setting the GO/DONE bit of the ADCON0 register to a '1' will start the Analog-to-Digital conversion.

Note: The GO/DONE bit should not be set in the same instruction that turns on the ADC. Refer to Section 12.2.6 "A/D Conversion Procedure".

12.2.2 COMPLETION OF A CONVERSION

When the conversion is complete, the ADC module will:

- Clear the GO/DONE bit
- Set the ADIF flag bit
- Update the ADRESH:ADRESL registers with new conversion result

12.2.3 TERMINATING A CONVERSION

If a conversion must be terminated before completion, the GO/DONE bit can be cleared in software. The ADRESH:ADRESL registers will not be updated with the partially complete Analog-to-Digital conversion sample. Instead, the ADRESH:ADRESL register pair will retain the value of the previous conversion. Additionally, a 2 TAD delay is required before another acquisition can be initiated. Following this delay, an input acquisition is automatically started on the selected channel.

Note: A device Reset forces all registers to their Reset state. Thus, the ADC module is turned off and any pending conversion is terminated.

12.2.4 ADC OPERATION DURING SLEEP

The ADC module can operate during Sleep. This requires the ADC clock source to be set to the FRC option. When the FRC clock source is selected, the ADC waits one additional instruction before starting the conversion. This allows the SLEEP instruction to be executed, which can reduce system noise during the conversion. If the ADC interrupt is enabled, the device will wake-up from Sleep when the conversion completes. If the ADC interrupt is disabled, the ADC module is turned off after the conversion completes, although the ADON bit remains set.

When the ADC clock source is something other than FRC, a SLEEP instruction causes the present conversion to be aborted and the ADC module is turned off, although the ADON bit remains set.

12.2.5 SPECIAL EVENT TRIGGER

The CCP Special Event Trigger allows periodic ADC measurements without software intervention. When this trigger occurs, the GO/DONE bit is set by hardware and the Timer1 counter resets to zero.

Using the Special Event Trigger does not assure proper ADC timing. It is the user's responsibility to ensure that the ADC timing requirements are met.

See Section 15.0 "Capture/Compare/PWM (CCP Module)" for more information.

12.2.6 A/D CONVERSION PROCEDURE

This is an example procedure for using the ADC to perform an Analog-to-Digital conversion:

1. Configure Port:
 - Disable pin output driver (See TRIS register)
 - Configure pin as analog
2. Configure the ADC module:
 - Select ADC conversion clock
 - Configure voltage reference
 - Select ADC input channel
 - Select result format
 - Turn on ADC module
3. Configure ADC interrupt (optional):
 - Clear ADC interrupt flag
 - Enable ADC interrupt
 - Enable peripheral interrupt
 - Enable global interrupt⁽¹⁾
4. Wait the required acquisition time⁽²⁾.
5. Start conversion by setting the GO/DONE bit.
6. Wait for ADC conversion to complete by one of the following:
 - Polling the GO/DONE bit
 - Waiting for the ADC interrupt (interrupts enabled)
7. Read ADC Result
8. Clear the ADC interrupt flag (required if interrupt is enabled).

Note 1: The global interrupt can be disabled if the user is attempting to wake-up from Sleep and resume in-line code execution.

2: See Section 12.3 "A/D Acquisition Requirements".

EXAMPLE 12-1: A/D CONVERSION

```
;This code block configures the ADC
;for polling, Vdd reference, Frc clock
;and AN0 input.

;  
;Conversion start & polling for completion
;  
;are included.

;  
BANKSEL    ADCON1          ;
MOVLW     B'01110000' ;ADC Frc clock
MOVWF     ADCON1          ;
BANKSEL    TRISA           ;
BSF       TRISA,0          ;Set RA0 to input
BANKSEL    ANSEL           ;
BSF       ANSEL,0          ;Set RA0 to analog
BANKSEL    ADCON0           ;
MOVLW     B'10000001' ;Right justify,
MOVWF     ADCON0           ;Vdd Vref, AN0, On
CALL      SampleTime        ;Acquisition delay
BSF       ADCON0,GO         ;Start conversion
BTFSR   ADCON0,GO         ;Is conversion done?
GOTO     $-1               ;No, test again
BANKSEL    ADRESH          ;
MOVF     ADRESH,W          ;Read upper 2 bits
MOVWF     RESULTHI         ;store in GPR space
BANKSEL    ADRESL          ;
MOVF     ADRESL,W          ;Read lower 8 bits
MOVWF     RESULTLO         ;Store in GPR space
```

12.2.7 ADC REGISTER DEFINITIONS

The following registers are used to control the operation of the ADC.

13.1.2 READING THE DATA EEPROM MEMORY

To read a data memory location, the user must write the address to the EEADRL register, clear the EEPGD control bit, and then set control bit RD of the EECON1 register. The data is available in the very next cycle, in the EEDATL register; therefore, it can be read in the next instruction. EEDATL will hold this value until another read or until it is written to by the user (during a write operation).

EXAMPLE 13-1: DATA EEPROM READ

```
BANKSEL EEADRL      ;
MOVF  DATA_EE_ADDR,W ;Data Memory
MOVWF EEADRL        ;Address to read
BANKSEL EECON1       ;
BCF   EECON1,EEPGD  ;Point to Data
                   ;memory
BSF   EECON1,RD     ;EE Read
BANKSEL EEDATL      ;
MOVF  EEDATL,W      ;W = EEPROM Data
```

13.1.3 WRITING TO THE DATA EEPROM MEMORY

To write an EEPROM data location, the user must first write the address to the EEADRL register and the data to the EEDATL register. Then the user must follow a specific sequence to initiate the write for each byte.

The write will not initiate if the sequence described below is not followed exactly (write 55h to EECON2, write AAh to EECON2, then set WR bit) for each byte. Interrupts should be disabled during this code segment.

Additionally, the WREN bit in EECON1 must be set to enable write. This mechanism prevents accidental writes to data EEPROM due to errant (unexpected) code execution (i.e., lost programs). The user should keep the WREN bit clear at all times, except when updating EEPROM. The WREN bit is not cleared by hardware.

After a write sequence has been initiated, clearing the WREN bit will not affect this write cycle. The WR bit will be inhibited from being set unless the WREN bit is set.

At the completion of the write cycle, the WR bit is cleared in hardware and the EE Write Complete Interrupt Flag bit (EEIF) is set. The user can either enable this interrupt or poll this bit. EEIF must be cleared by software.

The steps to write to EEPROM data memory are:

- If step 10 is not implemented, check the WR bit to see if a write is in progress.
- Write the address to EEADRL. Make sure that the address is not larger than the memory size of the device.
- Write the 8-bit data value to be programmed in the EEDATL register.
- Clear the EEPGD bit to point to EEPROM data memory.
- Set the WREN bit to enable program operations.
- Disable interrupts (if enabled).
- Execute the special five instruction sequence:
 - Write 55h to EECON2 in two steps (first to W, then to EECON2)
 - Write AAh to EECON2 in two steps (first to W, then to EECON2)
 - Set the WR bit
- Enable interrupts (if using interrupts).
- Clear the WREN bit to disable program operations.
- At the completion of the write cycle, the WR bit is cleared and the EEIF interrupt flag bit is set. (EEIF must be cleared by firmware.) If step 1 is not implemented, then firmware should check for EEIF to be set, or WR to clear, to indicate the end of the program cycle.

EXAMPLE 13-2: DATA EEPROM WRITE

Required Sequence	<pre>BANKSEL EECON1 ; BTFS C EECON1,WR ;Wait for write GOTO \$-1 ;to complete BANKSEL EEADRL ; MOVF DATA_EE_ADDR,W ;Data Memory MOVWF EEADRL ;Address to write MOVF DATA_EE_DATA,W ;Data Memory Value MOVWF EEDATL ;to write BANKSEL EECON1 ; BCF EECON1,EEPGD ;Point to DATA ;memory BSF EECON1,WREN ;Enable writes BCF INTCON,GIE ;Disable INTs. MOVWL 55h ; MOVWF EECON2 ;Write 55h MOVWL AAh ; MOVWF EECON2 ;Write AAh BSF EECON1,WR ;Set WR bit to ;begin write BSF INTCON,GIE ;Enable INTs. BCF EECON1,WREN ;Disable writes</pre>
--------------------------	--

17.0 INSTRUCTION SET SUMMARY

The PIC16F913/914/916/917/946 instruction set is highly orthogonal and is comprised of three basic categories:

- **Byte-oriented** operations
- **Bit-oriented** operations
- **Literal and control** operations

Each PIC16 instruction is a 14-bit word divided into an **opcode**, which specifies the instruction type and one or more **operands**, which further specify the operation of the instruction. The formats for each of the categories is presented in Figure 17-1, while the various opcode fields are summarized in Table 17-1.

Table 17-2 lists the instructions recognized by the MPASM™ assembler.

For **byte-oriented** instructions, 'f' represents a file register designator and 'd' represents a destination designator. The file register designator specifies which file register is to be used by the instruction.

The destination designator specifies where the result of the operation is to be placed. If 'd' is zero, the result is placed in the W register. If 'd' is one, the result is placed in the file register specified in the instruction.

For **bit-oriented** instructions, 'b' represents a bit field designator, which selects the bit affected by the operation, while 'f' represents the address of the file in which the bit is located.

For **literal and control** operations, 'k' represents an 8-bit or 11-bit constant, or literal value.

One instruction cycle consists of four oscillator periods; for an oscillator frequency of 4 MHz, this gives a nominal instruction execution time of 1 μ s. All instructions are executed within a single instruction cycle, unless a conditional test is true, or the program counter is changed as a result of an instruction. When this occurs, the execution takes two instruction cycles, with the second cycle executed as a NOP.

All instruction examples use the format '0xhh' to represent a hexadecimal number, where 'h' signifies a hexadecimal digit.

17.1 Read-Modify-Write Operations

Any instruction that specifies a file register as part of the instruction performs a Read-Modify-Write (R-M-W) operation. The register is read, the data is modified, and the result is stored according to either the instruction, or the destination designator 'd'. A read operation is performed on a register even if the instruction writes to that register.

For example, a CLRF PORTA instruction will read PORTA, clear all the data bits, then write the result back to PORTA. This example would have the unintended consequence of clearing the condition that set the RBIF flag.

TABLE 17-1: OPCODE FIELD DESCRIPTIONS

Field	Description	
f	Register file address (0x00 to 0x7F)	
W	Working register (accumulator)	
b	Bit address within an 8-bit file register	
k	Literal field, constant data or label	
x	Don't care location (= 0 or 1). The assembler will generate code with x = 0. It is the recommended form of use for compatibility with all Microchip software tools.	
d	Destination select; d = 0: store result in W, d = 1: store result in file register f. Default is d = 1.	
PC	Program Counter	
TO	Time-out bit	
C	Carry bit	
DC	Digit carry bit	
Z	Zero bit	
PD	Power-down bit	

FIGURE 17-1: GENERAL FORMAT FOR INSTRUCTIONS

Byte-oriented file register operations

13	8	7	6	0
OPCODE	d	f(FILE #)		
d = 0 for destination W				
d = 1 for destination f				
f = 7-bit file register address				

Bit-oriented file register operations

13	10	9	7	6	0
OPCODE	b (BIT #)	f(FILE #)			
b = 3-bit bit address					
f = 7-bit file register address					

Literal and control operations

General

13	8	7	0
OPCODE	k (literal)		
k = 8-bit immediate value			

CALL and GOTO instructions only

13	11	10	0
OPCODE	k (literal)		
k = 11-bit immediate value			

TABLE 17-2: PIC16F913/914/916/917/946 INSTRUCTION SET

Mnemonic, Operands	Description	Cycles	14-Bit Opcode		Status Affected	Notes
			MSb	LSb		
BYTE-ORIENTED FILE REGISTER OPERATIONS						
ADDWF f, d	Add W and f	1	00 0111	ffff ffff	C, DC, Z	1, 2
ANDWF f, d	AND W with f	1	00 0101	ffff ffff	Z	1, 2
CLRF f	Clear f	1	00 0001	ffff ffff	Z	2
CLRW -	Clear W	1	00 0001	0xxx xxxx	Z	
COMF f, d	Complement f	1	00 1001	ffff ffff	Z	1, 2
DECf f, d	Decrement f	1	00 0011	ffff ffff	Z	1, 2
DECFSZ f, d	Decrement f, Skip if 0	1(2)	00 1011	ffff ffff		1, 2, 3
INCF f, d	Increment f	1	00 1010	ffff ffff	Z	1, 2
INCFSZ f, d	Increment f, Skip if 0	1(2)	00 1111	ffff ffff		1, 2, 3
IORWF f, d	Inclusive OR W with f	1	00 0100	ffff ffff	Z	1, 2
MOVF f, d	Move f	1	00 1000	ffff ffff	Z	1, 2
MOVWF f	Move W to f	1	00 0000	1fff ffff		
NOP -	No Operation	1	00 0000	0xx0 0000		
RLF f, d	Rotate Left f through Carry	1	00 1101	ffff ffff	C	1, 2
RRF f, d	Rotate Right f through Carry	1	00 1100	ffff ffff	C	1, 2
SUBWF f, d	Subtract W from f	1	00 0010	ffff ffff	C, DC, Z	1, 2
SWAPF f, d	Swap nibbles in f	1	00 1110	ffff ffff		1, 2
XORWF f, d	Exclusive OR W with f	1	00 0110	ffff ffff	Z	1, 2
BIT-ORIENTED FILE REGISTER OPERATIONS						
BCF f, b	Bit Clear f	1	01 00bb	bfff ffff		1, 2
BSF f, b	Bit Set f	1	01 01bb	bfff ffff		1, 2
BTFSC f, b	Bit Test f, Skip if Clear	1(2)	01 10bb	bfff ffff		3
BTFSS f, b	Bit Test f, Skip if Set	1(2)	01 11bb	bfff ffff		3
LITERAL AND CONTROL OPERATIONS						
ADDLW k	Add literal and W	1	11 111x	kkkk kkkk	C, DC, Z	
ANDLW k	AND literal with W	1	11 1001	kkkk kkkk	Z	
CALL k	Call Subroutine	2	10 0kkk	kkkk kkkk		
CLRWDT -	Clear Watchdog Timer	1	00 0000	0110 0100	TO, PD	
GOTO k	Go to address	2	10 1kkk	kkkk kkkk		
IORLW k	Inclusive OR literal with W	1	11 1000	kkkk kkkk	Z	
MOVLW k	Move literal to W	1	11 00xx	kkkk kkkk		
RETIE -	Return from interrupt	2	00 0000	0000 1001		
RETLW k	Return with literal in W	2	11 01xx	kkkk kkkk		
RETURN -	Return from Subroutine	2	00 0000	0000 1000		
SLEEP -	Go into Standby mode	1	00 0000	0110 0011	TO, PD	
SUBLW k	Subtract W from literal	1	11 110x	kkkk kkkk	C, DC, Z	
XORLW k	Exclusive OR literal with W	1	11 1010	kkkk kkkk	Z	

- Note 1:** When an I/O register is modified as a function of itself (e.g., MOVF GPIO, 1), the value used will be that value present on the pins themselves. For example, if the data latch is '1' for a pin configured as input and is driven low by an external device, the data will be written back with a '0'.
- 2:** If this instruction is executed on the TMR0 register (and where applicable, d = 1), the prescaler will be cleared if assigned to the Timer0 module.
- 3:** If the Program Counter (PC) is modified, or a conditional test is true, the instruction requires two cycles. The second cycle is executed as a NOP.

19.0 ELECTRICAL SPECIFICATIONS

Absolute Maximum Ratings^(†)

Ambient temperature under bias	-40° to +125°C
Storage temperature	-65°C to +150°C
Voltage on VDD with respect to Vss	-0.3V to +6.5V
Voltage on MCLR with respect to Vss	-0.3V to +13.5V
Voltage on all other pins with respect to Vss	-0.3V to (VDD + 0.3V)
Total power dissipation ⁽¹⁾	800 mW
Maximum current out of Vss pin	95 mA
Maximum current into VDD pin	95 mA
Input clamp current, I _{IK} (V _I < 0 or V _I > VDD)	±20 mA
Output clamp current, I _{OK} (V _O < 0 or V _O > VDD)	±20 mA
Maximum output current sunk by any I/O pin	25 mA
Maximum output current sourced by any I/O pin	25 mA
Maximum current sourced by all ports (combined)	90 mA
Maximum current sunk by all ports (combined)	90 mA

Note 1: Power dissipation is calculated as follows: P_{DIS} = V_{DD} x {I_{DD} - \sum I_{OH}} + \sum {(V_{DD} - V_{OH}) x I_{OH}} + \sum (V_{OL} x I_{OL}).

2: PORTD and PORTE are not implemented in PIC16F913/916 devices.

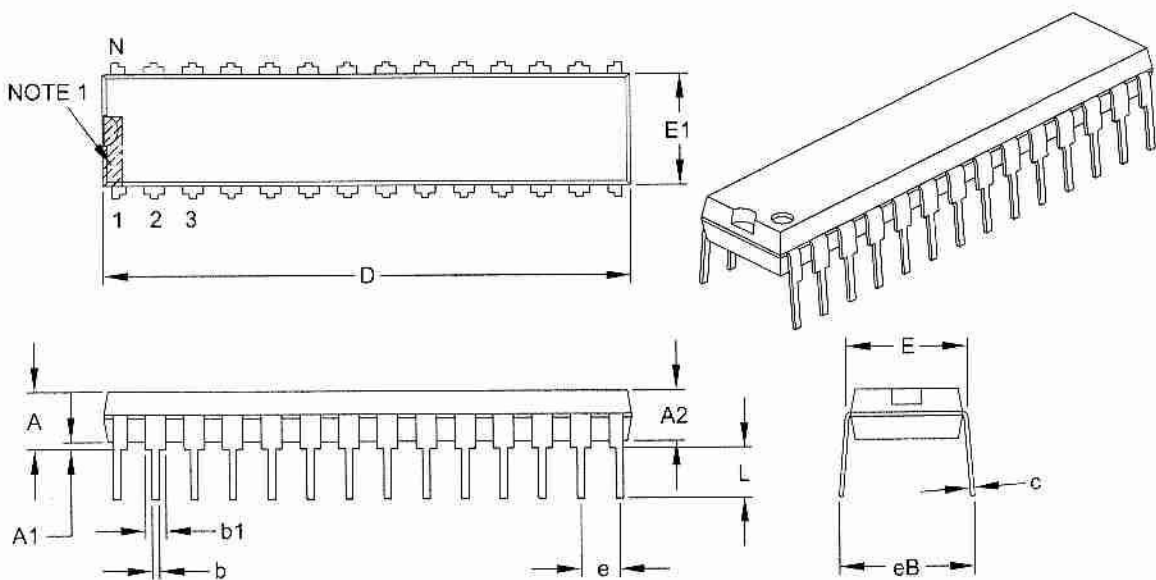
† NOTICE: Stresses above those listed under "Absolute Maximum Ratings" may cause permanent damage to the device. This is a stress rating only and functional operation of the device at those or any other conditions above those indicated in the operation listings of this specification is not implied. Exposure to maximum rating conditions for extended periods may affect device reliability.

21.2 Package Details

The following sections give the technical details of the packages.

28-Lead Skinny Plastic Dual In-Line (SP) – 300 mil Body [SPDIP]

Note: For the most current package drawings, please see the Microchip Packaging Specification located at <http://www.microchip.com/packaging>



	Units	INCHES		
	Dimension Limits	MIN	NOM	MAX
Number of Pins	N		28	
Pitch	e		.100 BSC	
Top to Seating Plane	A	—	—	.200
Molded Package Thickness	A2	.120	.135	.150
Base to Seating Plane	A1	.015	—	—
Shoulder to Shoulder Width	E	.290	.310	.335
Molded Package Width	E1	.240	.285	.295
Overall Length	D	1.345	1.365	1.400
Tip to Seating Plane	L	.110	.130	.150
Lead Thickness	c	.008	.010	.015
Upper Lead Width	b1	.040	.050	.070
Lower Lead Width	b	.014	.018	.022
Overall Row Spacing §	eB	—	—	.430

Notes:

1. Pin 1 visual index feature may vary, but must be located within the hatched area.
2. § Significant Characteristic.
3. Dimensions D and E1 do not include mold flash or protrusions. Mold flash or protrusions shall not exceed .010" per side.
4. Dimensioning and tolerancing per ASME Y14.5M.

BSC: Basic Dimension. Theoretically exact value shown without tolerances.

Microchip Technology Drawing C04-070B

